

FACULDADE DE ENGENHARIA LICENCIATURA EM ENGENHARIA ELÉCTRICA ESTÁGIO PROFISSIONAL

PROJECTO DE ARRANQUE DA CENTRAL TERMOELÉTRICA DE MAPUTO EM MODO *BLACKSTART*

Autor:

Ilídio Alberto Cossa

Supervisores:

Mestre Anacleto Albino, eng.º
Lic. Ruben Mathenga

Maputo, Junho de 2025



FACULDADE DE ENGENHARIA LICENCIATURA EM ENGENHARIA ELÉCTRICA ESTÁGIO PROFISSIONAL

PROJECTO DE ARRANQUE DA CENTRAL TERMOELÉTRICA DE MAPUTO EM MODO *BLACKSTART*

Autor:

Ilídio Alberto Cossa

Supervisores:

Mestre Anacleto Albino, eng.º
Lic. Ruben Mathenga

Maputo, Junho de 2025

DEDICATÓRIA

Dedico este trabalho aos meus superestimados pais, que Deus os tenha, por serem os mentores da minha caminhada académica, ao corpo docente da faculdade de engenharia em especial ao meu supervisor deste projecto, a minha e esposa e filhos pela paciência e suporte dispensado dia apos dia e a todos intervenientes académicos.

AGRADECIMENTOS

Regozijo-me em expressar, em primeiro lugar, minha profunda gratidão a Deus Todopoderoso, por Sua presença constante em minha vida e por Sua bondade e misericórdia. Ele é o princípio e o fim da minha existência, e, por isso, serei eternamente grato.

A realização deste trabalho marca o início do fim de uma etapa muito importante na minha vida. Serve este presente espaço para agradecer e homenagear todas as pessoas que contribuíram para a sua concretização. Aos meus Supervisores, Eng. Ruben Mathenga e ao Mestre Anacleto Albino, engo, o meu sincero e profundo agradecimento por todo o encorajamento, dedicação, disponibilidade e sabedoria depositada em mim, que foram factores essenciais para que chegasse ao fim deste trabalho com um enorme sentimento de satisfação. Aos meus pais e irmãos que deus os tenha, um agradecimento muito sentido, durante toda a minha vida. A eles e ao resto da minha família o meu muito obrigado pelo apoio incondicional, compreensão e por toda a confiança transmitida ao longo deste percurso. A todos os meus amigos e colegas que me acompanham durante o meu percurso na UEM, agradeço pela vossa amizade, apoio e motivação nesta caminhada. Por fim, um agradecimento a todos os docentes, por tudo o que me ensinaram e que de um modo geral contribuíram para a minha formação académica.

RESUMO

O presente trabalho, foca-se no desenvolvimento de um modo de operação da Central termoelétrica de Maputo, (modo blackstart), que permite a operação da mesma, mesmo na ausência da rede pública, como tensão de referência e fonte de alimentação dos serviços auxiliares, visto que em caso de ausência da rede pública, a central não dispõe de fonte auxiliar, com Potência instalada suficiente para o arranque da central, em rede isolada, condição básica necessária para o arranque. O projecto prevê a introdução da Turbina a Gás n.º 3, designada (GTG 3), como fonte auxiliar para o arranque da central sempre que a rede pública não estiver disponível, sendo que esta nova fonte servira também de fonte de alimentação dos serviços auxiliares em caso de ausência da rede pública, visto que a central dispõe de um grupo gerador de emergência a diesel, que gera 1MW, para alimentar parte da carga dos serviços auxiliares, mas que actualmente encontra-se subdimensionado devido a evolução da carga, por isso não alimenta todos os serviços auxiliares e condiciona o arranque da central no modo *Blackstart*. A central termoelétrica de Maputo dispõe de uma subestação com nível máximo de tensão de 66KV, designada subestação da CTM e a 200 metros desta, existe a segunda subestação (antiga) com nível máximo de tensão de 66KV, designada SE2. Importa referir que a turbina GTG3, porque fazia parte da antiga central, o seu barramento de saída de 33KV esta instalada na SE2 e não na subestação da CTM onde a turbina esta instalada. Em síntese, a potência requerida para os serviços auxiliares é de 5MW. Importa referir que, o projecto prevê a concepção do novo circuito de Potência que vai juntar a central termoelétrica de Maputo e a turbina a gás nr.3 designada, (GTG.3) com capacidade nominal de geração de 22.6MW que se pretende que sirva de grupo gerador de emergência de toda central para mitigar a falta do arranque em blackstart da central e resolver definitivamente esta não conformidade. É importante observar que o projecto segue a tendência actual da indústria moderna, que envolve a supervisão remota de plantas por meio de HMIs; estas que não apenas oferecem interfaces intuitivas aos operadores, mas também colectam dados, fornecem alarmes e informações vitais para o planeamento de manutenções.

Palavra – Chave: Grupos geradores, turbinas, GTG3, Caldeiras, transformadores e subestação.

ABSTRACT

The production of electrical energy in Mozambique is mainly characterized by the use of hydroelectric and thermal processes. As a country with a high water potential, however, it is quite complex due to the volatile nature of hydrological influences, taking into account the limited quantities, i.e. reservoir storage capacity, and the interdependence of uses. Thus, the need to develop electrical energy production with hydrothermal coordination arose, thus creating thermoelectric power plants. Thermoelectric power plants are responsible for the production of electrical energy from the conversion of heat from the burning of different fuels. As Mozambique is a country with greater resources of these fuels (coal and natural gas), there are more thermoelectric power plant projects in order to reuse natural gas, taking into account the level of pollution. It is in this context that this project is presented, which focuses on the development of an operating mode for the Maputo Thermoelectric Power Plant (blackstart) that allows it to operate even in the absence of the public grid as a reference voltage, since in the absence of the public grid, the plant does not have an auxiliary source for start-up. The project foresees the introduction of Gas Turbine No. 3 (GTG 3) as an auxiliary source for starting the plant whenever the public grid does not exist, and this new source will also serve as a power source for auxiliary services in the absence of the public grid, since the plant has a generator set to ensure auxiliary services, but which is currently undersized. In summary, it is important to note that gas turbine No. 3 (GTG.3) with a nominal generation capacity of 22.6 MW has recently been reconditioned and is intended to serve as an emergency generator set for the entire plant to mitigate the lack of blackstart start-up of the plant and definitively resolve this non-compliance. It is important to note that the project follows the current trend in modern industry, which involves remote supervision of plants through HMIs; these not only offer intuitive interfaces to operators, but also collect data, provide alarms and vital information for maintenance planning.

Keyword: Generator sets, turbines, GTG3, boilers, transformers and substation.

ÍNDICE

Dedicatória	I
Agradecimentos	II
Resumo	III
Abstract	IV
Índice de anexos	² V
Estrutura do trabalho	1
Capítulo i: descrição sumária	2
1.1Introdução	2
1.3 Justificativa	4
1.4.2 objectivos específicos	5
1.5 metodologia	6
1.6 delimitação do tema	7
capitulo ii. fundamentação teórica	8
2.2 ciclos térmicos de potência	8
2.2.1 ciclo de potência a gás	8
2.3 ciclo de potência a vapor	9
2.4 ciclo combinado (caso da central termoelétrica de maputo)	10
princípio de funcionamento	12
2.6 automação em centrais electricas.	13
2.7 grupo gerador a diesel	15
2.8 motor diesel	15
2.9 sistema de excitação	16
2.9.1 frequência	16
2.9.2 princípio de funcionamento de um gerador síncrono	17
2.9.3 quadro elétrico de comando	18
capítulo 3: caracterização da área em estudo	19
3.1 breve historial da central termoelétrica de ciclo combinado de maputo	19
6.3 segurança	33
6.4 avaliação do impacto ambiental	34
6.6 conclusão.	37

ÍNDICE DE ANEXOS.

- Anexo 1 Subestação 66KV da CTM-AIS
- Anexo 2 Subestação 66KV da SE2-GIS
- Anexo 3 Transformador terceário 11/66KV/90MVA/CTM
- Anexo 4 Transformador 11/66KV/40MVA/CTM
- Anexo 5 Gerador de emergência contentorizado 1MW/CTM
- Anexo 6 Turbina a gás modelo LMF6000PF
- Anexo 7 Ciclo combinado da CTM
- Anexo 8 Motor diesel
- Anexo 9 Alternador 4 pólos
- Anexo 10 Alternador
- Anexo 11- Condensador de vapor
- Anexo 12 Sistema ATS
- Anexo 13 Parâmetros do sistema ATS
- Anexo 14 Disjuntores
- Anexo 15 Especificações técnicas das turbinas aeroderivadas LM6000
- Anexo 16 Tabela de secção do condutor
- Anexo 17- Factor de simultaneidade
- Anexo 18 Planta de pis

LISTA DE SIMBOLOS.

C.A - Corrente alternada

C.C - Corrente continua

TC- Transformador de corrente

TT- Transformador de tensão

MW- Megawatt, unidade de potência elétrica

CEI - Comissão Eletrotécnica Internacional

Ie. Corrente de excitação

Vs. - Tensão secundária

EDM - Eletricidade de Moçambique

% - Percentagem

ΔU% Queda de tensão em percentagem

S - Potência aparente

RPM - Rotações por minuto

t -Tempo

V - Volt

PVC - Policloreto de vinilo

MWh - Megawatts hora

K - Constante que representa aspetos construtivos da máquina

H - Hora

In - Corrente nominal

I2 - Corrente convencional de funcionamento

Is - Corrente de serviço

ATS - Interruptor de transferência automática

IZ - Corrente máxima admissível na canalização

KVA - Quilo Volt-ampere

CXIM - Caixa de inversão manual

ACC Condensador arrefecido por ar (air cooled condenser)

CTM Central Termoeléctrica de Maputo EDM Electricidade de Moçambique EES Engineering Equation Solver

GE General electric

GTG Gerador de Turbina a Gás

HRSG Caldeiras de recuperação de calor (Heat recover steam generation)

ISPE Internation Society for Pharmaceutical Engineering

MGC Matola Gas Company pH Potencial de hidrogénio

1. ESTRUTURA DO TRABALHO

Para melhor concepção em relação ao desenvolvimento do trabalho, dividiu-se em seis (06) capítulos a saber:

No capítulo (I), analisa-se o propósito do projecto de arranque da central em modo *blackstart*, bem como a contextualização, a formulação do problema, a justificativa, os Objectivos e a metodologia utilizada ao longo deste Projeto;

No capítulo (II), é apresentado por meio de uma revisão bibliográfica a teoria relativa a centrais termoelétricas de ciclo combinado; a constituição dos grupos geradores; Turbinas e de todos componentes intervenientes.

No capítulo (III), É descrita a localização geográfica da Central termoelétrica de Maputo, a exposição atual do circuito elétrico de potência, seus componentes e breve histórico de funcionamento.

No capítulo (**IV**), Aborda a concepção do novo circuito elétrico de potência, o tratamento de dados, o redimensionamento do novo modo de operação, bem como a sua constituição.

No capítulo (V), apresentar-se-á o princípio de funcionamento do novo sistema no seu todo, como será o automatismo e a respetiva parametrização.

No capítulo (VI), e descrito a conclusão e breves considerações do trabalho.

CAPÍTULO I: DESCRIÇÃO SUMÁRIA

1.1 INTRODUÇÃO

A Central Termoelétrica de Maputo constitui uma das fontes de geração de energia, própria, da Eletricidade de Moçambique (EDM), para além da energia fornecida pela Hidroelétrica de Cahora Bassa e de outras fontes privadas, com o objectivo de estabelecimento e a exploração do serviço público de produção, transporte e distribuição de energia eléctrica. A Central Termoelétrica de Maputo (CTM) é uma central de ciclo combinado construída no mesmo local onde anteriormente estava instalada a antiga Central Térmica de Maputo. A existência da antiga Central remota ao período anterior à independência e era conhecida como Central Térmica de Lourenço Marques, fazendo parte da SONEFE - Sociedade Nacional de Estudo e Financiamento de Empreendimentos Ultramarinos. Do antigo parque produtor, existe o Grupo Turbina a Gás n.º 3 (GTG 3), um grupo gerador à diesel que esteve paralisado durante longos anos devido aos elevados custos de operação. Actualmente, foram criadas condições para a sua operacionalização, embora continue caro. Entretanto, está planificado um projecto que visa a substituição do diesel pelo gás natural. O último combustível é o mais econômico e se encontra disponível na CTM, afinal, as turbinas a gás de ciclo combinado da Central consomem gás natural. O grupo foi recuperado para servir de gerador de emergência que proporcionara o blackstart da Central (capacidade da Central sair de uma condição de paragem total para uma condição de operação, independentemente da fonte de energia eléctrica externa para alimentar seus serviços auxiliares). Ademais, o GTG 3 poderá ser utilizado para auxiliar no cumprimento de planos de produção, ou então para cobrir eventuais necessidades de potência que estejam fora da capacidade da Central em certo instante.

Deste modo, surge o presente trabalho, cuja proposta é projectar um modo de operação que permitira o arranque da Central termoelétrica de Maputo usando a turbina o GTG 3, como fonte auxiliar para tal, garantindo potencia para alimentar os serviços auxiliares.

1.2 FORMULAÇÃO DO PROBLEMA

Como foi dito inicialmente, A central dispõe de um grupo gerador de emergência com capacidade de gerar 1MW, que alimenta parte dos serviços auxiliares em caso de ausência da rede púbica, mas que não dispõe de potência suficiente para alimentar todos os serviços auxiliares e nem dispõe de potencia suficiente para servir de fonte auxiliar durante o arranque da central em modo *blackstart*, quando a rede pública não estiver disponível. Em síntese quando a rede pública não estiver disponível a central não tem como arrancar devido a falta de fonte auxiliar com capacidade de potência para tal. Assim pretende-se com este trabalho desenhar um modo de arranque da central em rede isolada ou simplesmente *blackstart* com recurso a turbina a gás GTG.3 sendo que esta fonte fazia parte da antiga central térmica a carvão e recentemente foi recondicionada faltando criar-se condições de aplicá-lo como fonte auxiliar no novo sistema eléctrico de potência da central.

Mediante esta necessidade de proporcionar uma alternativa de arranque da central usando a turbina GTG 3, surge a seguinte pergunta de partida:

• Como arrancar a Central termoelétrica de Maputo, em modo *blackstart*, sempre que a rede pública não estiver disponível?

1.3 JUSTIFICATIVA

Este projecto justifica-se dado que a sua concretização é de maior ganho não só para a Central termoelétrica de ciclo combinado de Maputo, mas também para todos os clientes da EDM, utentes da energia eléctrica distribuída pela rede pública na zona sul do país, que vão registar melhorias no que concerne a continuidade de fornecimento de energia Eléctrica, reduzindo o tempo de espera durante o uso destes serviços, o que incrementa de certa forma a produtividade dos utentes. Por outro lado incrementa o poder financeiro da concessionária EDM, visto que vai reduzir o tempo da indisponibilidade da central causada pela ausência prolongada da rede pública. O projecto vai trazer também melhorias na alimentação dos demais serviços auxiliares que anteriormente não eram abrangidos pelo grupo gerador de emergência porque vai ser melhorada a capacidade em termos de potência disponível.

Concretizado este projecto e ensaiado com sucesso, vai ser um maior ganho para a EDM e o mesmo pode ser aplicado as demais áreas de serviço com problemas similares e até nas outras empresas.

No que concerne a segurança de pessoas e bens, o projecto vai melhorar as não conformidades decorrentes dos longos períodos de ausência da rede pública onde as instalações permanecem as escuras ou sem energia, proliferando-se diversos perigos e perdas de produção, afectando de certo modo os sistemas de vigilância.

1.4 OBJECTIVOS

1.4.1 Objectivo geral

Projetar o arranque da Central termoelétrica de Maputo em modo *blackstart* sempre que a rede pública não estiver disponível.

1.4.2 Objectivos específicos

- Proceder o levantamento das cargas.
- Esquematizar o novo circuito de potência;
- Dimensionar os cabos de potência.
- Selecionar os elementos de sincronização.
- Definir a aplicação do antigo gerador.
- Propor soluções técnicas para os problemas levantados baseados em novas tecnologias possíveis de aplicação.

1.5 METODOLOGIA

Para a efectivação do presente projeto, a metodologia a usar será, a qualitativa e a aplicada, dividida nas seguintes partes a destacar:

- PESQUISA APLICADA é uma investigação científica sistemática com o objetivo de encontrar soluções práticas para problemas específicos de um campo de estudo, para o caso concreto deste trabalho será, a concepção de conhecimentos para o arranque da central termoelétrica de Maputo em modo blackstart'.
- **PESQUISA QUALITATIVA** é um tipo de investigação que se aprofunda em aspetos não numéricos, como o comportamento, as motivações e as perspetivas das máquinas, neste caso concreto, para compreender fenômenos complexos. O objetivo é obter um entendimento detalhado e subjetivo da realidade, usando métodos como entrevistas, grupos focais e observações para analisar dados descritivos em vez de numéricos.
- REVISÃO BIBLIOGRÁFICA A revisão bibliográfica abrangerá a pesquisa, selecção e análise de materiais relacionados ao tema em destaque. Serão revisados livros, dissertações, artigos científicos e recursos disponíveis na internet para uma compreensão aprofundada da matéria, incluindo o funcionamento dos sistemas de supervisão industriais e sua concepção
- CONSULTA DA DOCUMENTAÇÃO INTERNA DA CTM Para obter um conhecimento mais abrangente sobre os grupos geradores pertencente à CTM, serão realizadas consultas aos manuais de Operação e Manutenção disponíveis na Central. Além disso, para fortalecer esse conhecimento, estão planeadas visitas aos grupo, conduzidas sob a orientação do supervisor da empresa.
- OBSERVAÇÃO DIRECTA- Este método de colecta de dados baseia-se na actuação de observadores treinados para obter determinados tipos de informação sobre

resultados, processos, impactos etc. Requer um sistema de pontuação muito bem preparado e definido, treinamento adequado dos observadores, supervisão durante a aplicação e procedimentos de verificação periódica para determinar a qualidade das medidas realizadas (BARBOSA, 2008) citado por (CONSTANTINO, 2016). A observação directa baseou-se em forma de visualização dos aspectos importantes para a pesquisa, como, uso de normas que regem o funcionamento das centrais termoelétricas de ciclo combinado e consulta aos manuais dos fabricantes; Recolha de dados

1.6 Delimitação do tema.

O objetivo deste trabalho é de Projetar o arranque da Central termoelétrica de Maputo em modo *blackstart*, Portanto, devido a ampla extensão deste tema, o estudo vai estar focado na esquematização do novo circuito de arranque, e no processo de operação em modo *blackstart*.

CAPITULO II. FUNDAMENTAÇÃO TEÓRICA

Conceitos teóricos sobre constituição de centrais termoelétricas de ciclo combinado e seus componentes.

2. Turbinas

Segundo (MORAN & SHAPIRO 6 edição), turbinas são dispositivos que desenvolvem potência em função da passagem de um gás ou líquido escoando através de uma série de pás colocadas em um eixo que se encontra livre para girar.

2.1 Turbinas a gás

As turbinas a gás são máquinas térmicas, onde a energia potencial termodinâmica contida nos gases quentes provenientes de uma combustão é convertida em trabalho mecânico ou utilizada para propulsão. São máquinas tecnicamente muito complexas, com inúmeras partes móveis e sofisticados sistemas de lubrificação e arrefecimento, essas turbinas operam no ciclo brayton.

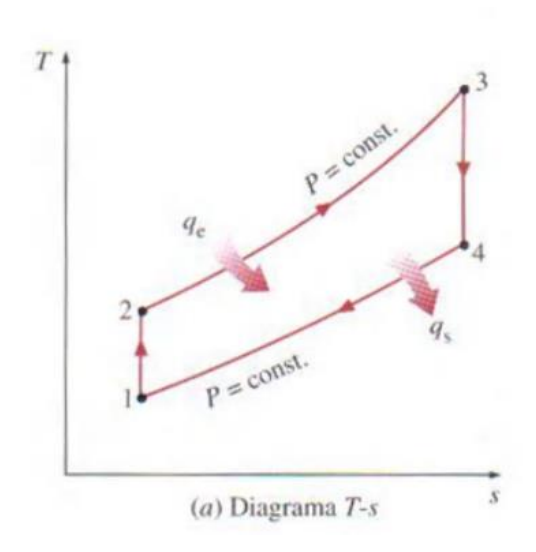
2.2 Ciclos Térmicos de Potência

2.2.1 Ciclo de potência a gás

O ciclo de potência a gás, geralmente utilizado em centrais de geração termoelétrica para processos de compressão e expansão em maquinário rotativo, é o ciclo de Brayton (desenvolvido e proposto por volta dos anos 1870 para o uso no motor alternativo pelo engenheiro americano George Brayton 1830-1892), que é o ciclo ideal para as centrais de potência a gás (Çengel & Boles, 2007).

As turbinas a gás deste ciclo, podem funcionar em dois tipos diferentes de circuito, o circuito do ciclo aberto e o circuito do ciclo fechado. O ciclo de Brayton consiste apenas em quatro processos internamente reversíveis:

- 1-2 Compressão isentrópica (em um compressor);
- 2-3 Fornecimento de calor à pressão constante;
- 3-4 Expansão isentrópica (em uma turbina); e
- **4-1** Rejeição de calor à pressão constante.



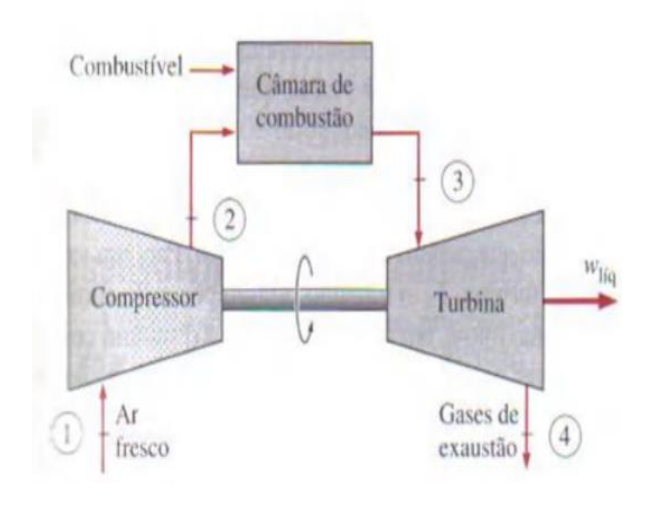


FIGURA 1- A) DIAGRAMA T-S DO CICLO.

B) CICLO ABERTO DE BRAYTON IDEAL.

FONTE: CENGEL & BOLES, 2007.

2.3 CICLO DE POTÊNCIA A VAPOR

Muitos dos problemas práticos associados ao ciclo de Carnot (pois, o ciclo de Carnot não é o modelo adequado para os ciclos de potência a vapor pois não pode ser realizado na prática, podendo ser usado apenas como um ciclo teórico), podem ser eliminados superaquecendo o vapor da água na caldeira e condensando-o completamente no condensador, desse modo, o ciclo resultante é o **ciclo de Rankine** (desenvolvido pelo escocês William John M. Rankine 1820-1872), o ciclo ideal das centrais de potência a vapor.

O ciclo de Rankine ideal é um ciclo que não envolve nenhuma irreversibilidade interna e consiste apenas em quatro processos para a alteração das propriedades do fluido de trabalho (neste ciclo o fluido de trabalho é a água):

- 1-2 Compressão isentrópica em uma bomba;
- 2-3 Fornecimento de calor à pressão constante em uma caldeira;
- 3-4 Expansão isentrópica em uma turbina; e
- **4-1** Rejeição de calor à pressão constante em um condensador.

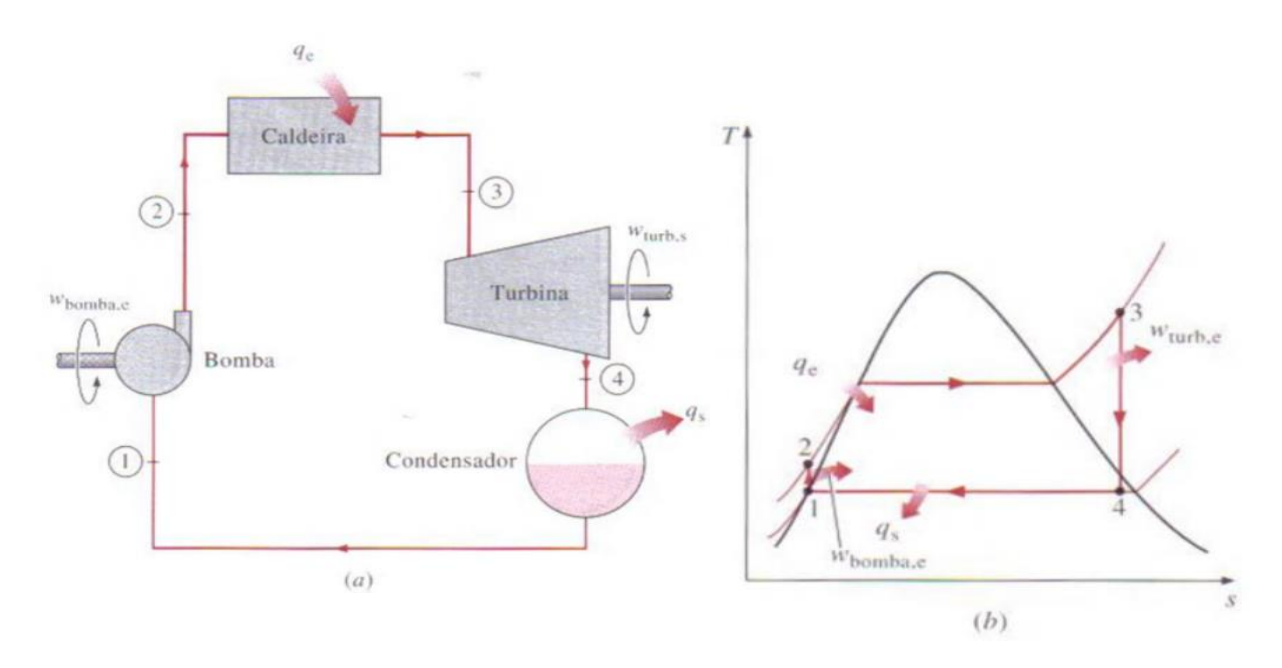


FIGURA 2 - A) CICLO DE RANKINE IDEAL.

B) DIAGRAMA T-S DO CICLO.

FONTE: CENGEL & BOLES, 2007.

2.4 CICLO COMBINADO (Caso da Central termoelétrica de Maputo)

A juncão dos ciclos brayton e rankine dão origem ao ciclo combinado O ciclo combinado surge num âmbito em que se busca altas eficiências térmicas por meio de modificações nas centrais de potência convencionais. Essa modificação (ciclo combinado) consiste num ciclo térmico de potência que une dois ciclos térmicos de potência diferentes, de tal forma que, parte da energia descarregada através de calor de um dos ciclos é usada parcial ou integralmente pelo outro ciclo. O ciclo combinado de maior interesse é o que combina o ciclo de potência a gás (Brayton) no topo de um ciclo de potência a vapor (Rankine), ver fig. abaixo, tornando-se num ciclo combinado gás-vapor com uma eficiência térmica maior do que qualquer um dos dois ciclos quando analisados individualmente (Çengel & Boles, 2007).

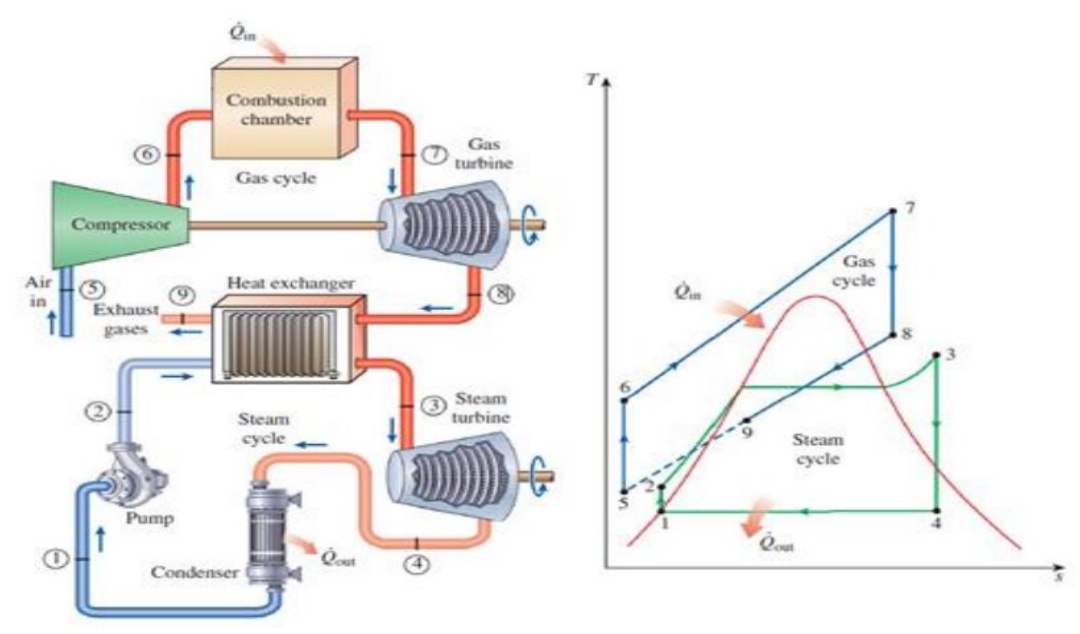


Figura 1 - Ciclo combinado e o respetivo diagrama T-s.

FONTE: ARQUIVO CTM

2.5 Turbinas LM6000 PF da GE instaladas na CTM

As turbinas a gás de modelo LM6000 fazem parte do conjunto de turbinas aeroderivado da *General Electric*, que são adaptados do motor aeronáutico CF6-80C2 turbofan (usado em aeronaves comerciais como Airbus A310 e Boeing 747-400), que possui adições e modificações projectadas para torná-lo mais adequado para geração de energia industrial, uso marítima, e também como propulsão naval. (GE, 2019.)



Figura 3- Turbina a gás de modelo LM6000PF da CTM.

Fonte: Autor

As turbinas a gás usadas na CTM são da serie LM6000, com as configurações mais recentes de LM6000PF como mostra a figura 3, e apresenta baixas emissões secas (DLE), possui rotor duplo que consiste em um conjunto de palhetas guias de entrada variável ou variable *inlet guide* vane *assembly* (VIGV), dois motores geradores, em ciclo combinado, com a capacidade de geração de 106 MW líquida sendo 48,063 MW por unidade, e é composto por compressor de múltiplos estágios, de baixa e alta pressão (LPC e HPC) de geometria variável, câmara de combustão (ou um conjunto combustor anular triplo) e uma turbina de alta pressão e de baixa pressão (HPT e LPT), um conjunto de caixa de engrenagens de acessórios ou *accessory gearbox assembly* (AGB) e outros acessórios (GE, 2019).

Princípio de funcionamento

O ar succionado no meio ambiente pelas turbinas LM600 PF, passa primeiro pelos filtros (casa de filtros), entra no VIGV e depois para o LPC, onde é comprimido em uma proporção de aproximadamente 2.4:1. O ar que sai do LPC é direccionado para o HPC, onde válvulas de desvio variável ou variable *bypass* valves (VBV) são dispostas na passagem de fluxo entre os dois compressores para regular o fluxo de ar que entra no HPC em marcha lenta e em baixa potência. Para controlar ainda mais o fluxo de ar, o HPC é equipado com palhetas de estator variável ou *variable stator vanes* (VSVs). O HPC comprime o ar em uma proporção de aproximadamente 12:1, resultando em uma taxa de compressão total de 30:1, em relação ao ambiente. Do HPC, parte deste ar é direccionado para a secção do combustor anular triplo (câmara de combustão), onde se mistura com o combustível pré-misturadores de ar/combustível que são acondicionados em 30 módulos removíveis externamente. A mistura ar/combustível é inicialmente inflamada por um ignitor, e uma vez que a combustão é auto-sustentável, o ignitor é desligado. Os gases quentes resultantes da combustão são direcionados para a HPT que acciona o HPC. Esse gás se expande ainda mais através da LPT, que acciona o LPC e a carga de saída. Os gases de exaustão passam pela LPT onde são expelidos hrsgs formando deste modo o ciclo combinado.

2.5.1 DESCRIÇÃO FUNCIONAMENTO DA TURBINA A GÁS

Quando o sistema de arranque é accionado, o ar ambiente é aspirado através do colector de entrada, filtrado e, em seguida, comprimido pelo compressor de ar de fluxo axial. Neste compressor, o ar é confinado no espaço entre o rótor e as pás do estátor, onde é comprimido em estágios por uma série de rotações alternadas (rótor) e lâminas estacionárias (estátor) em forma de aerofólio.

As pás do rótor fornecem a força necessária para comprimir o ar em cada estágio, enquanto as pás do estátor guiam o ar para o estágio seguinte.

O ar comprimido é direccionado para um espaço anular que envolve as dez câmaras de combustão, saindo através da caixa de descarga do compressor. Nestas dez câmaras, os bicos de combustível introduzem o diesel, que se mistura com o ar comprimido. A ignição da mistura é realizada por uma ou ambas (duas) velas de ignição.

Assim que uma ou ambas câmaras de combustão equipadas com velas de ignição são acesas, as restantes câmaras também são acesas por tubos de fogo cruzado que interligam as zonas de reacção das câmaras de combustão.

À medida que o rótor da turbina se aproxima da velocidade operacional, a pressão da câmara de combustão faz com que as velas de ignição se retraiam, removendo seus eléctrodos da zona de chama quente.

Os gases quentes das câmaras de combustão se expandem nas dez peças de transição responsáveis pelo direccionamento dos gases para a secção da turbina de dois estágios. Cada estágio consiste numa fileira de pás fixas seguidas por uma fileira de pás rotativas.

Em cada fileira de pás fixas, a energia cinética do jacto é aumentada, com uma queda de pressão associada. Em cada fileira de pás móveis, uma porção da energia cinética do jacto é absorvida como trabalho útil no rótor da turbina, que por sua vez acciona o rótor do gerador e alguns acessórios.

Após passarem pelas pás do segundo estágio, os gases de exaustão são direccionados à coifa de exaustão e ao difusor, que contêm uma série de pás giratórias que alteram o fluxo dos gases da direcção axial para radial. Por fim, os gases são encaminhados para o colector de exaustão, onde são lançados ao meio ambiente.

A planta de produção da na CTM, tem uma operação de base em ciclo combinado, onde os gases de combustão são aproveitados nas caldeiras de recuperação de calor (HRSG) para a produção de vapor.

O rendimento das turbinas a gás LM6000 PF instaladas na CTM, vária de acordo com a temperatura ambiente, por isso, foram aprimoradas com o sistema Sprint (*spray intercooling*), um sistema que pulveriza água desmineralizada, através de bicos de pulverização a entrada do compressor de baixa pressão, o que reduz a temperatura na entrada, permitindo maior capacidade de compressão, isto é, maior massa volumétrica, resultando assim no aumento significativo de potência nas turbinas.

No entanto, com o aquecimento global, tem-se verificado elevação da temperatura na admissão do ar, o que influencia negativamente na potência do ciclo simples e consequentemente no rendimento do ciclo combinado.

2.6 AUTOMAÇÃO EM CENTRAIS ELECTRICAS.

A automação industrial, segundo Moraes e Castruci (2007), refere-se a qualquer sistema apoiado em computadores que substitua o trabalho humano em favor da segurança das pessoas, da qualidade dos produtos, da rapidez da produção ou da redução de custos. Ela envolve a implantação de sistemas interligados e assistidos por redes de comunicação, incluindo sistemas supervisórios e interfaces homem-máquina que auxiliam os operadores na supervisão e análise de eventuais problemas. A automação industrial teve seus primórdios no chão de fábrica, com a utilização do controlo pneumático de medidas analógicas. Nessa fase inicial, eram empregadas estratégias de controlo clássico que se baseavam em relés e solenoides. Inicialmente, enormes painéis repletos de instrumentos analógicos ocupavam consideráveis espaços, situados junto às máquinas da linha de produção. Posteriormente, esses painéis foram centralizados em amplas salas de supervisão, conforme descrito por Moore (1986). A evolução da electrônica, impulsionada pelo surgimento do transístor e dos circuitos integrados, possibilitou a redução do tamanho e dos custos dos painéis de supervisão. No entanto, mesmo com essas melhorias, a funcionalidade ainda se mantinha predominantemente analógica no controlo de processos

2.7 GRUPO GERADOR A DIESEL

É denominado grupo gerador a diesel o conjunto de um motor primário de combustão a diesel acoplado a um gerador de corrente alternada onde há um controle de supervisão elétrica e mecânica a partir do consumo de diesel. (PRADO, 2006).

Em geral, um grupo gerador é um equipamento que possui um motor (Diesel, Gasolina ou Gás) de maior performance, acoplado a um gerador de tecnologia moderna e montado sobre base metálica, com acionamento manual ou automático.

2.8 MOTOR DIESEL

O motor diesel é uma máquina cujo objetivo principal é a transformação de energia química em energia mecânica. Porém, é uma máquina com pouca eficiência, pois o seu funcionamento gera grandes quantidades de energia térmica, sendo assim considerada uma máquina térmica. Os

motores a diesel podem ser classificados em quatro tipos, conforme a sua aplicação: veiculares, marítimos, industriais e estacionários. (SILVA, 2021).

Para o caso de gerador de energia, é usado o motor estacionário, que também é usado para bombas, máquinas de solda e outros que necessitam rotação constante.

2.9 SISTEMA DE EXCITAÇÃO

Ao alimentar as bobinas que constituem os polos, com corrente contínua significa excitar a máquina, por meio de uma fonte de corrente contínua denominada Excitatriz.

Para manter constante a tensão de saída do alternador, é necessário regular o sistema de excitação, pois é a intensidade do campo magnético quem determina este valor. Portanto, necessitamos de um regulador de tensão, que é o elemento capaz de sentir as variações de tensão de saída do alternador e atuar diretamente na excitatriz para que esta aumente ou diminua o fluxo do campo magnético, mantendo constante a tensão para qualquer solicitação da carga.

Quanto a forma construtiva, são três configurações básicas para o sistema de excitação do alternador que são Estática, Dinâmica e Rotativa. Sistema de excitação dinâmica é montado no próprio eixo do alternador, onde se utiliza um gerador de corrente contínua, com escovas e coletor de lâmina de cobre. Sistema de excitação estática, a corrente que alimenta o campo do gerador principal é retificado através dos retificadores estáticos. A alimentação de corrente alternada aos retificadores pode se fazer através do gerador principal ou do barramento auxiliar se não até de um transformador redutora. Sistema de excitação rotativa, a corrente para alimentação do campo de gerador principal é obtido sem a utilização de escovas e anéis coletoras. Possui uma ponte retificadora de onda completa que, também é girante, que transfere a corrente retificada diretamente ao campo magnético do alternador principal.

2.9.1 FREQUÊNCIA

A velocidade síncrona é definida pela rotação da máquina primária (motor), a qual fornece a potência ativa para o sistema ligado ao gerador. A frequência da tensão gerada depende assim da velocidade de rotação e do número de polos, de acordo com a equação

$$f = \frac{p.n}{120}$$
 (eq.1.0)

Onde:

f – frequência em (Hz);

p – número de pares de polos da máquina, determinado pela construção da máquina e, é escolhido com base na velocidade da máquina primária (motor).

n - velocidade da máquina primária por minuto (rpm);

2.9.2 PRINCÍPIO DE FUNCIONAMENTO DE UM GERADOR SÍNCRONO

De acordo com a constituição do alternador descrito anteriormente, o estator aloja enrolamento monofásico ou trifásico. Pelo movimento do rotor que contém um enrolamento que é alimentado em corrente contínua para criar campo magnético principal na máquina, no enrolamento do estator será induzida uma tensão alternada, a qual produzirá uma corrente igualmente alternada monofásica ou trifásica.

O princípio de funcionamento do alternador (gerador) é semelhante a um gerador de corrente contínua, baseia-se nos fenómenos de indução eletromagnética (Lei de Lenz e Faraday) a que está sujeito um condutor ou espira, quando sofre uma variação de fluxo magnético, que pode ser produzida rodando-se a espira no campo indutor fixo, ou rodando o campo indutor da espira fixa.

Para facilitar a compreensão, vou considerar um gerador elementar, o enrolamento do campo do alternador é alimentado em corrente contínua, neste caso uma bateria e no enrolamento de armadura recebe a tensão induzida no estator que tem a representação da saída das três fases.

2.9.3 QUADRO ELÉTRICO DE COMANDO

Residem em este quadro elétrico, vários dispositivos de proteção, controle e comando do grupo gerador e rede pública, conforme o caso. É dotado de uma chave comutadora com disjuntor para entrada de cabos provenientes do alternador, voltímetro, frequencímetro, amperímetros, regulador automático de tensão do alternador e demais componentes elétricos, tais como partida automática, sensores de tensão e frequência, chaves de transferência automática de carga, interface para comunicação e transmissão de dados, carregador de baterias, voltímetro e amperímetro do sistema de excitação ou outros instrumentos, conforme a aplicação

.

2.9.4 INVERSORES AUTOMÁTICOS PARA A COMUTACAO DE FONTES

Sistemas que operam com inversão automática utilizam equipamentos de controlo, gerador a diesel e bancos de baterias, na maioria dos casos. A inversão automática é acionada por falha da fonte principal, mas também pode ser programada para compensar o horário de ponta ou para manutenção do sistema. O processo de transferência de cargas deve ser controlado de forma que se faça uma transição dentro dos limites de operação dos elementos do sistema. Esta transferência é realizada através da ATS (sistema de inversão automática).

As caixas de inversão automática são divididas em duas partes: controle e potência. São utilizados em sistemas em que é necessário manter o fornecimento contínuo, realizando o chaveamento entre as fontes principais e de emergência ou, vice-versa. Podem operar tanto de forma manual como automática.

A caixa de inversão automática permite a transição suave e imediata entre as várias fontes e a carga. É acionado quando há uma interrupção da alimentação da rede principal. Poucos segundos depois, com o gerador operacional, desliga a carga da rede principal e liga o gerador. Após executar a transferência da carga ao sistema de emergência, a ATS prossegue monitorizando os níveis de tensão de fornecimento principal e quando o fornecimento é normalizado é feita a transferência da carga do gerador para a fonte principal. Diferente da caixa de inversão manual (CxIM), a ATS seleciona a fonte de energia disponível sem que haja a necessidade de intervenção do usuário.

CAPÍTULO 3: CARACTERIZAÇÃO DA ÁREA EM ESTUDO

3.1 Breve historial da Central termoelétrica de ciclo combinado de Maputo

A EDM – Eletricidade de Moçambique, é a empresa pública distribuidora da energia elétrica em todo o pai. Fundada em 1977, distribui atualmente cerca de 980MW no território nacional. Nos finais do ano 2018 a central começou a operar, gerando cerca de 106MW a base do gás natural vindo de Pande. Esta empresa foi considerada, uma das maiores empresas de Moçambique, segundo a lista das 100 maiores empresas do país em 2009, divulgada pela consultora KPMG.

3.2 Localização da Central termoelétrica de Maputo.

Como já descrito inicialmente, a Central termoelétrica de Maputo (CTM), localiza-se no bairro Luís Cabral, arredores da cidade de Maputo, isto é, aproximadamente a 6 Km a nordeste da Cidade de Maputo, capital de Moçambique. Faz fronteira com o bairro de chamanculo "C" e o início do município da Matola.



Figura. 3 Localização Geográfica da CTM.

Fonte: https://www.google.com/maps

3.3 ELEMENTOS DO CIRCUITO ELÉTRICO DE POTÊNCIA DESCRITOS ANTERIORMENTE.



Fig.1 Vista abrangente da Central termoelétrica de Maputo. Fonte: Autor.



Fig.2 Turbina a gás GTG3. Fonte: Autor.

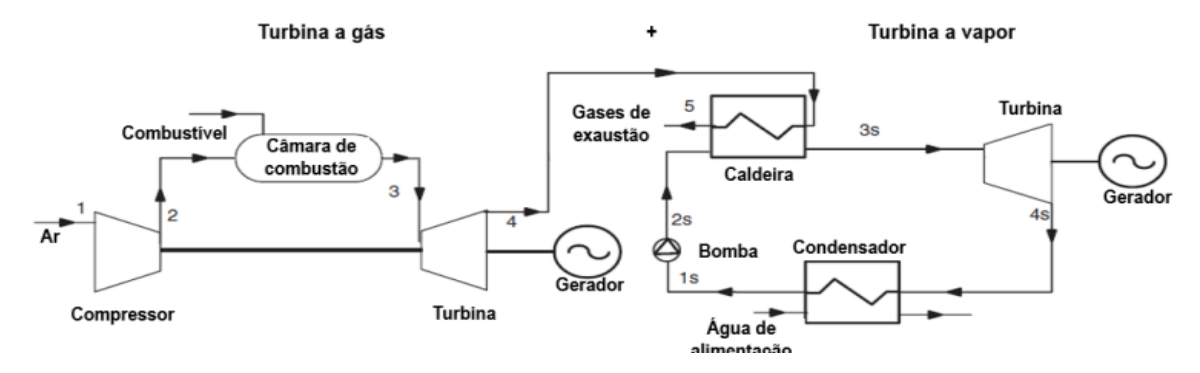


Fig.3 Modelo simplificado do ciclo combinado. Fonte: Arquivo ctm.

3.4 CIRCUITO ELÉTRICO DE POTÊNCIA, DA CONFIGURAÇÃO ACTUAL DA TURBINA GTG3.

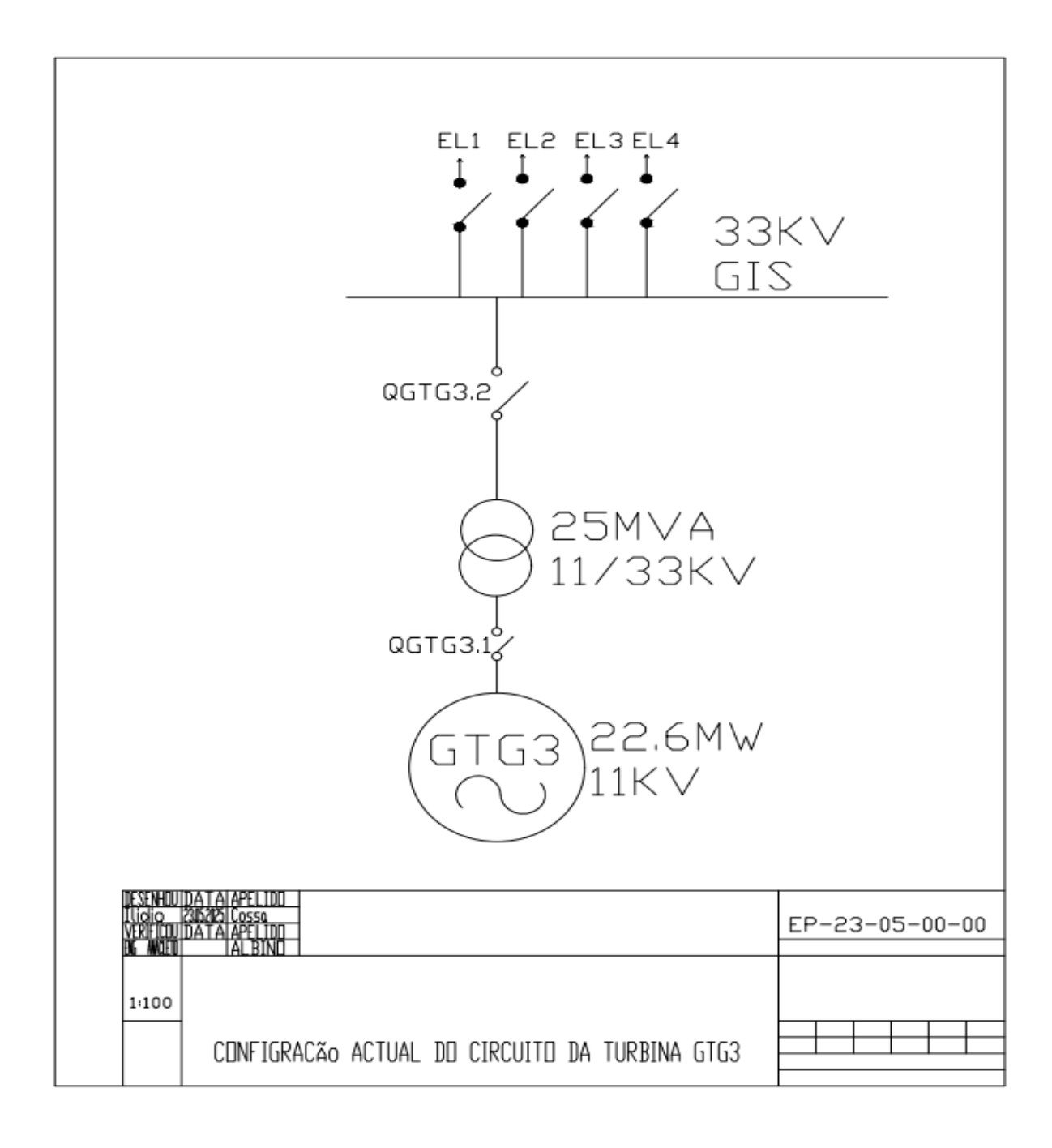


Fig.4 Configuração actual do circuito força da turbina GTG3. Fonte: Autor

CAPÍTULO VI - TRATAMENTO DE DADOS E RESULTADOS.

4. DESCRIÇÃO DO PROJECTO A IMPLEMENTAR

O presente trabalho consiste em criar um modo de operação da central termoelétrica de Maputo, em que permite o arranque da Central em rede isolada, isto é, na ausência da tensão da rede pública, como tensão de referência e garante dos serviços auxiliares, condição básica para o arranque.

O circuito da figura 4, descrito na página anterior, ilustra a configuração actual do sistema de potência da turbina a gás designada GTG3, actualmente recondicionada e com esta fonte projectase o modo de arranque em alusão como dito inicialmente, "O grupo foi recuperado para servir de gerador de emergência que proporcionara o *blackstart* da Central (capacidade da Central sair de uma condição de paragem total para uma condição de operação, independentemente da fonte de energia eléctrica externa para alimentar seus serviços auxiliares).

Conforme ilustra o circuito de potência da figura 4, apresenta-se como componentes do sistema de potência, da turbina GTG3, o transformador elevador 11/33KV; barramento de 33kv; a turbina que gera na saída do alternador 11KV e potencia instalada de 22.6MW.

As quatro linhas de 33KV representam as diversas cargas que emergencial mente o sistema pode alimentar, pois este grupo gerador desempenha actualmente a função de grupo gerador de emergência para cargas previamente definidas pelo antigo sistema de potência.

Importa referir mais uma vez, que o GTG3, actualmente não ocupa a posição de gerador de emergência da central termoelétrica de Maputo, sendo que neste momento a central dispõe de um grupo gerador a diesel, de potência igual a 1MW que alimenta alguns serviços auxiliares.

4.1 CIRCUITO DE POTÊNCIA, PARCIAL DO PROJECTO PROPOSTO

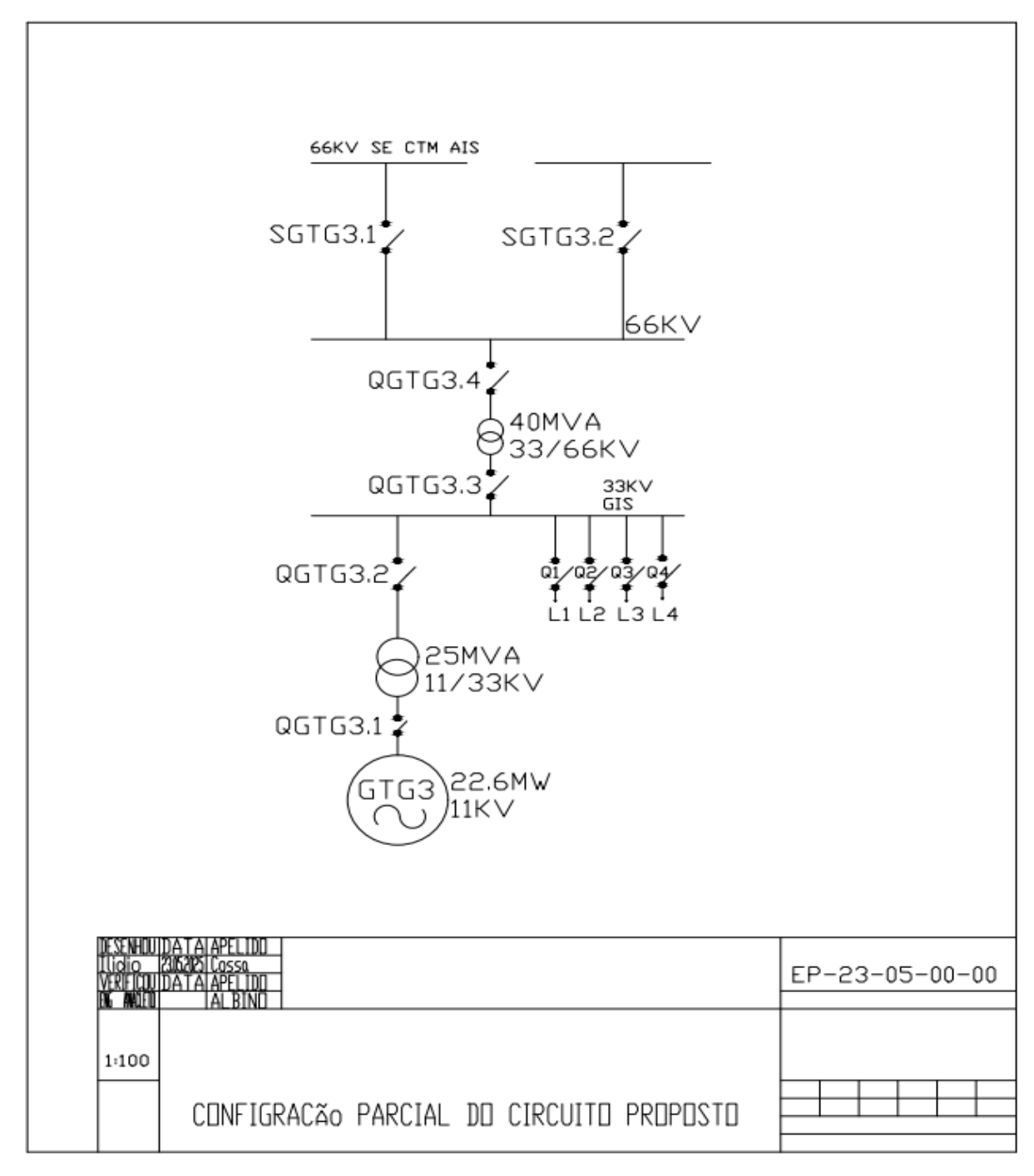


Fig.5 Configuração parcial do circuito proposto. Fonte autor.

4.1.1 Discrição da fig.5 Circuito parcial proposto:

Conforme ilustrado na figura acima, que debruça de uma das fases do projecto a implementar, esta patente a diferença entre os circuitos das figs. 4 e 5, sendo que o circuito parcial do projecto proposto contempla para alem do transformador elevador de 11\33KV o transformador elevador 33/66KV.

A logica de operação, será: A turbina GTG3 em regime de funcionamento, vai debitar tensão, no primário do transformador 11/33KV, considerando que actualmente este transformador esta no circuito da mesma turbina, e ao energizar o barramento de 33KV, será alimentado o transformador 33/66KV.

Referir que, actualmente o transformador 33/66KV não faz parte da subestação da central termoelétrica de Maputo, mas sim da SE2 que é a subestação (antiga) adjacente a da CTM, que dista cerca de 200 metros da outra e estando neste momento em operação, mas com baixa carga na ordem dos 20%.

Depois de se energizar o barramento de 66KV, na SE2, subestação adjacente á subestação da CTM, estarão criadas as condições básicas, para a concepção dos objectivos deste projecto, sendo que a fase posterior será a esquematização do circuito de potência a interligar as duas subestações.

Importa referir que as caleiras ou condutas de cabos da central, dispõem de cabos unipolares de 240mm que interligam a subestação SE2, que faziam parte da antiga central mas que não foram removidos e pretende-se aplicar neste projecto.

4.4 CARGA A SER SUPRIDA PELO GTG3.

Foram consideradas as seguintes cargas para o sistema elétrico de potência resultantes do levantamento de carga na Central.

4.4.1 Serviços auxiliares para o arranque da Central termoelétrica de Maputo

Tabela 1. Levantamento de dados. Fonte: Autor

CARGAS	POTÊNCIA	TENSÃO	LOCALIZAÇÃO	FABRICANTE
Bombas de alta e baixa pressão	1.5MW	6.6kV	Planta	ABB
Bombas de oleio de alta pressão para o arranque da turbina	1.OMW	6.6kV	Planta	ABB
Bombas de lubrificação da turbina e do gerador	1,5MW	6.6kV	Planta	ABB
Compressores de Ar para o arranque	1.4MW	400V	Planta	ATLAS
Compressores de gás	1MW	400V	Planta	ATLAS
Aquecedores de gás	750kW	400V	Planta	MIRRELI
Sistema controle e sala de comando	250kW	400V	Planta	RTU
lluminação	100kW	220V	Planta	N/A
Tomadas	200kW	220V	Administração.	N/A
TOTAL	7.7MW			

4.4.1 EXCITAÇÃO E ARRANQUE DA CENTRAL TERMOELÉTRICA DE MAPUTO.

Ao accionar o sistema de arranque, o ar ambiente é aspirado através do colector de entrada, filtrado e, em seguida, comprimido pelo compressor de ar de fluxo axial. Neste compressor, o ar é confinado no espaço entre o rótor e as pás do estátor, onde é comprimido em estágios por uma série de rotações alternadas (rótor) e lâminas estacionárias (estátor) em forma de aerofólio. As pás do rótor fornecem a força necessária para comprimir o ar em cada estágio, enquanto as pás do estátor guiam o ar para o estágio seguinte.

O ar comprimido é direccionado para um espaço anular que envolve as dez câmaras de combustão, saindo através da caixa de descarga do compressor. Nestas dez câmaras, os bicos de combustível introduzem o diesel, que se mistura com o ar comprimido.

A ignição da mistura é realizada por uma ou ambas (duas) velas de ignição. Assim que uma ou ambas câmaras de combustão equipadas com velas de ignição são acesas, as restantes câmaras também são acesas por tubos de fogo cruzado que interligam as zonas de reacção das câmaras de combustão. À medida que o rótor da turbina se aproxima da velocidade operacional, a pressão da câmara de combustão faz com que as velas de ignição se retraiam, removendo seus eléctrodos da zona de chama quente. Os gases quentes das câmaras de combustão se expandem nas dez peças de transição responsáveis pelo direccionamento dos gases para a secção da turbina de dois estágios. Cada estágio consiste numa fileira de pás fixas seguidas por uma fileira de pás rotativas.

Em cada fileira de pás fixas, a energia cinética do jacto é aumentada, com uma queda de pressão associada. Em cada fileira de pás móveis, uma porção da energia cinética do jacto é absorvida como trabalho útil no rótor da turbina, que por sua vez acciona o rótor do gerador e alguns acessórios.

Após passarem pelas pás do segundo estágio, os gases de exaustão são direccionados à coifa de exaustão e ao difusor, que contêm uma série de pás giratórias que alteram o fluxo dos gases da direcção axial para radial. Por fim, os gases são encaminhados para o colector de exaustão, onde são lançados ao meio ambiente.

4.4.2 CONSTITUIÇÃO DO MODO BLACKSTART.

O *blackstart* da Central (capacidade da Central sair de uma condição de paragem total para uma condição de operação, independentemente da fonte de energia eléctrica externa para alimentar seus serviços auxiliares) será basicamente composto pelos seguintes elementos:

- 1. Turbina a gás designada GTG3 referir que esta turbina, foi recondicionada actualmente, pois ela fazia parte da antiga central térmica de Maputo, com o propósito de inseri-la como fonte auxiliar para o arranque da central em *blackstart*.
- 2. Transformador de potência 11/33KV 25MVA, já existente na antiga central e esta operacional.
- 3. Transformador de potência 33/66KV 40MVA, já existente na subestação SE2, adjacente a subestação da CTM e esta operacional a 20% de carga.
- 4. Seccionadores para acomodar o fecho das linhas prioritárias, no modo blackstart.
- 5. Barramentos de 33 e 66 KV.
- 6. Sistema de controlo da turbina GTG3, interligado ao sistema de controlo da CTM.

Referir que o diagrama eléctrico da fig.6, na pág. 28, (circuito de potencia do projecto proposto), ilustra a configuração dos elementos do modo *blackstart*, bem como a interligação de cada elemento com a central. O protocolo de operação, fornece os detalhes de arranque da central no modo em alusão.

CAPITULO V:

- Configuração final do circuito de potência do projecto proposto.
- Operação e considerações logicas de funcionamento.

5.1 CIRCUITO DE POTÊNCIA PROPOSTO

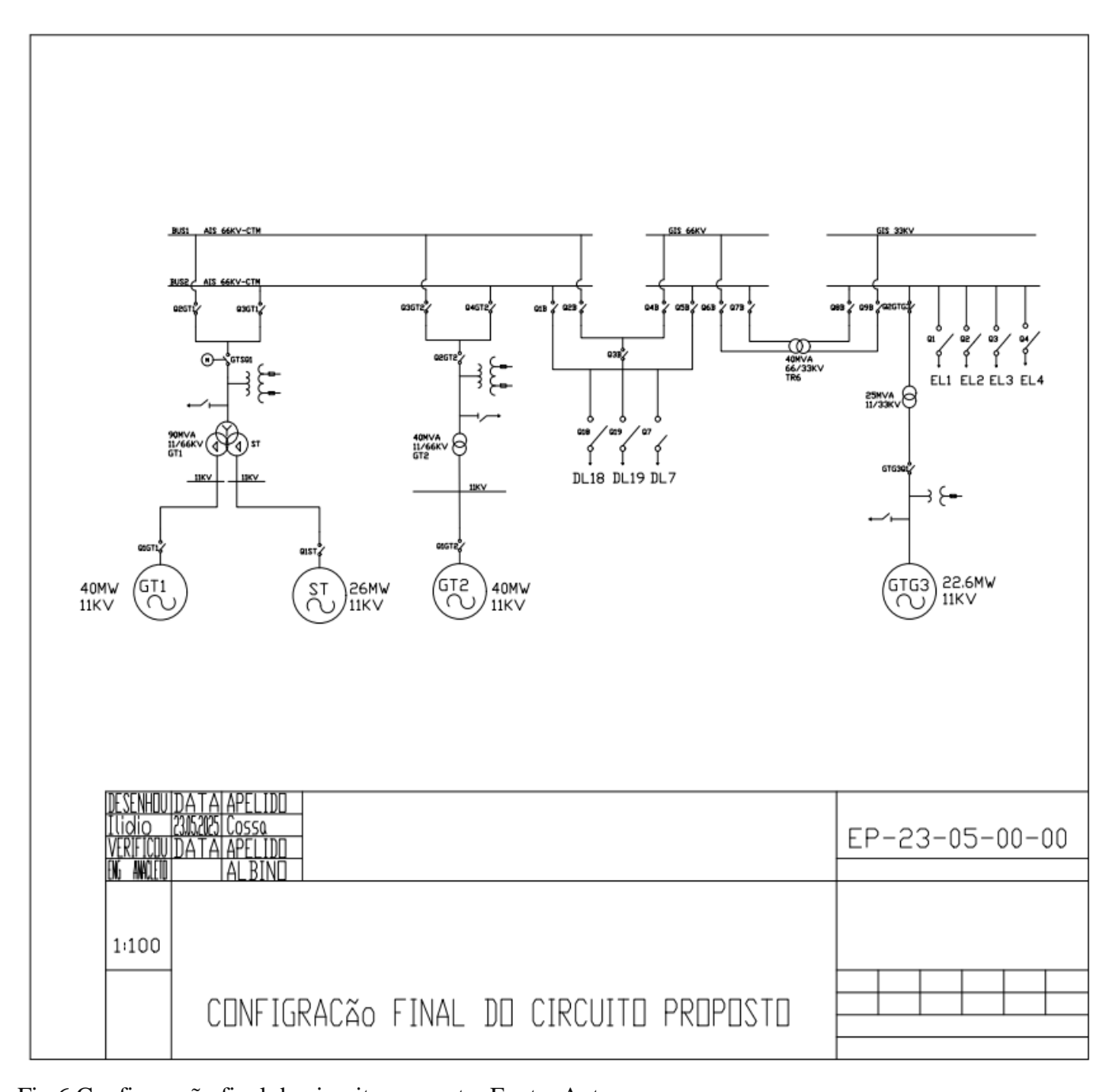


Fig.6 Configuração final do circuito proposto. Fonte: Autor

5.2 OPERAÇÃO DO SISTEMA DE POTÊNCIA PROPOSTO

As duas subestações em causa são propriedades da concecionária pública EDM, e a filosofia de operação obedece o plasmado pelo centro nacional de despacho CND, que lidera o comando das manobras ou operações de toda rede.

O sistema eléctrico da figura 6 representa a visão geral do projecto a implementar, para a concretização da operação no modo *blackstart*. O circuito eléctrico no seu todo é constituído pelos seguintes elementos activos:

- Duas turbinas a gás do tipo LMF600PF de 40MW cada
- Uma turbina a vapor de 26MW
- Um transformador elevador terciário de 11KV/66KV 90MVA
- Um transformador elevador 11/66KV 40MVA
- Um transformador elevador para a GTG3 33/66KV 40MVA
- Uma turbina a gás, GTG3 22.6 MW
- Um transformador elevador para a GTG3 11/33KV
- Barramentos tubulares.
- Três linhas aéreas de 66KV

Referir que, felizmente, todos estes activos estão operacionais e disponíveis para a implementação desejada, sublinhando o facto de o transformador de 33/66KV que vai interligar as duas subestações estar a operar a 20% de carga, o que satisfaz o acoplamento da turbina GTG3 no sistema.

A turbina GTG3 encontra-se instalada no recinto da central termoelétrica de Maputo, mas ela debita tensão de 33kv, na subestação SE2 (antiga), localizada a 200 metros da subestação da CTM, devido a configuração da antiga central a carvão.

5.2.1 OPERAÇÃO DO SISTEMA DE POTÊNCIA PROPOSTO

5.2.1.1 Operação do sistema no modo *blackstart*.

As linhas de alta tensão DL18; 19 e DL7 tem as suas chegadas no barramento de 66KV na SE2 e interligam com a subestação da CTM através de cabos subterrâneos.

Na presença da rede pública, estando criadas as condições de operação normal da central, o operador na sala de comando, sob orientação do centro nacional de despacho, accionadas as turbinas GT1 e GT2 de 40MW cada, que por sua vez, depois de se reaproveitar os gases de escape, para a produção do vapor de água é accionada a turbina a vapor de 26MW.

Sob orientação do centro nacional de despacho, procede-se com a sincronização da central com a rede pública, gerando potencia para alimentação das cargas.

Nestas condições, a central opera em modo controle de potência, absorvendo a demanda da rede pública e a turbina GTG3 permanece em repouso, isto é, sem geração. Modo normal.

Nestas condições, as linhas EL1; EL2;EL3 e EL4 permanecem em repouso, sem tensão, pois estas linhas apenas são alimentadas em modo de emergência.

Em caso de ausência ou falha da rede pública:

Nestas condições, actualmente não e possível arrancar a central devido a falta de serviços auxiliares e tensão de referencia. E desta forma que se junta ao circuito de potencia, a turbina a gás GTG3.

O operador da central, sob orientação do centro nacional de despacho, procede com o arranque da turbina GTG3, obedecendo todos os procedimento de segurança e encravamento da rede pública enquanto não existir.

Através do TR6 33/66kv é alimentado o barramento de 66KV da SE2 que interliga a subestação da CTM e será energizado o barramento da subestação da central a 66KV.

Projecto de arranque da central termoelétrica de Maputo-CTM em modo Blackstart.

Ao se energizar o barramento de 66KV na subestação da CTM, através da tensão gerada pela turbina GTG3, os transformadores das turbinas GT1 e GT2, passam a realizar o processo inverso e garantem a alimentação do circuito dos serviços auxiliares a 0.4KV e 6.6KV, criando condições de arranque no modo *blackstart*.

Desta forma, sob o comando do centro nacional de despacho, o operador da central termoelétrica de Maputo em coordenação com o operador da subestação SE2, procede o arranque da central no modo blackstart e gera potência a dissipar na rede.

Porque neste modo de operação, não dispõe-se da rede pública para sincronizar, a CTM será sincronizada com a turbina a gás GTG3.

Apos a sincronização com a GTG3, estarão criadas as condições de operação no modo Blackstart.

Devido a falta da rede pública, a potência instalada vai baixar de capacidade, sendo que dispõe-se apenas dos 106MW gerados na central, mais os 22,6MW gerados pela turbina a gás GTG3.

Sob orientação do centro nacional de despacho, o operador da subestação SE2, procede com a injeção de carga, ate estabilizar o sistema em função da carga gerada.

Neste momento, serão alimentadas também as linhas de emergência, ligadas ao barramento de 33kv, na turbina GTG3.

O sistema permanece nestas condições operando em modo *blackstart*, ate que as condições da rede pública estejam normalizadas a operar.

Importa referir, que neste modo de operação é preciso acautelar o carregamento de cada grupo pois trata-se de potências deferentes.

Ao se restabelecer a rede, o centro nacional de despacho procede com o comando e cria-se condições de retornar ao modo normal.

Neste momento a turbina GTG3 deve ser isolada da rede, e a rede pública passa a ser a fonte principal de alimentação.

Projecto de arranque da central termoelétrica de Maputo-CTM em modo Blackstart.

CAPITULO VI:

6.1 MONITORIA DO SISTEMA ELÉTRICO DE POTÊNCIA

A supervisão a distância dos grupos geradores ou centrais elétricas, constitui um tema amplo dado a sua complexidade, por outro lado devido a limitações do presente trabalho, abordar-se-á os pontos relevantes.

Esta central é equipada com o Controlador CSI-III fabricado pela IHI como principal equipamento de controlo. A planta possui quatro (4) Controladores CSI-III+, dois (2) para o controlador HRSG. Outros dois (2) para cada Controlador de Turbina a Gás. Esses controladores CSI-III+ são conectados mutuamente por Ethernet e o operador pode monitorá-los e operá-los por meio de uma IHM (Interface Homem-Máquina) comum.

A turbina a vapor é controlada pelo painel de controlo da turbina a vapor fornecido pelo fabricante ST. Este painel de controlo é conectado ao CSI-III+. Controla o arranque e paragem da central.

Esta central é baseada na operação contínua em ciclo combinado. A configuração de operação dos principais equipamentos dela, pode ser encontrada no manuais de operação da centra. Os casos de operação são considerados com base nos números de operação e nas condições da rede elétrica. Embora existam vários casos, ela pode ser classificada em alguns padrões de operação.

6.1 MONITORIA DO SISTEMA ELÉTRICO DE POTÊNCIA

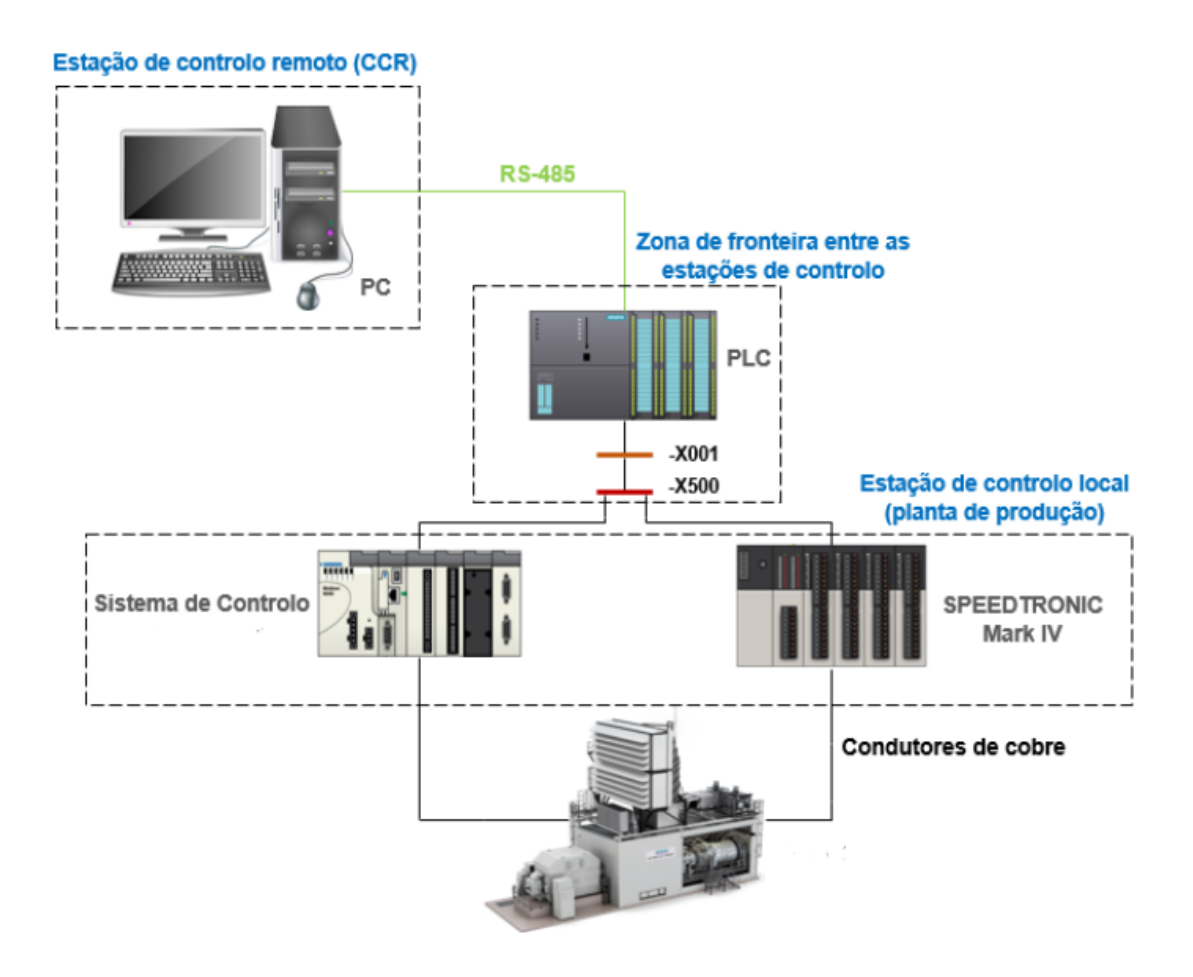


Fig.7 Sistema de controlo. Fonte: autor

Projecto de arranque da central termoelétrica de Maputo-CTM em modo Blackstart.

6.3 SEGURANÇA

Os cabos de media tensão, subterrâneos, que partem da turbina a gás designada GTG3, para a SE2, deveram ser instalado sobre um maciço de betão, cerca de 400 mm de altura. No interior da caleira, dos cabos, deverá ser disposta uma cavidade que terá escoamento das águas pluviais, para os drenos situados nas proximidades.

No que tange a proteção, deverá se garantir a cobertura das caleiras com tampas de betão, de modo a assegurar a segurança dos cabos e pessoas.

Deverá ser instalado extintores contra incêndios. A instalação dos demais componentes do sistema deverá ser executada de acordo com normas de segurança em vigor em Moçambique. E em especial cuidado deve ser posto na correta ligação à terra de todas as massas metálicas, não fazendo parte dos circuitos ativos, que possam entrar acidentalmente em tensão.

De acordo com o regulamento a cima referido, deverá ser instalada "uma terra de serviço" (Ts) para ligação do neutro, e "terra de proteção" (Tp) fazendo-se a ligação de todas massas metálicas, facilitando assim, a melhor operacionalidade da central.

6.4 MONITORAMENTO DE EMISSÕES DOS GASES DE ESCAPE PARA O AMBIENTE.

Desde 1973, com o objectivo de promover a consciência ambiental e a acção coletiva, o Programa das Nações Unidas para o Meio Ambiente (PNUMA) instituiu o dia 5 de Junho como o Dia Mundial do Ambiente. Actualmente, o mundo enfrenta grande desafio na área de geração de energia eléctrica, sem poluir e sem emissão de dióxido de carbono ao ambiente.

A central termoelétrica de Maputo, caracteriza-se por ser uma central á gás, amiga do ambiente, sendo que emite menos poluentes se comparado com outros combustíveis fosseis, apresenta uma eficiência acima de 50%.

A central possui um sistema de monitoramento contínuo de emissões (CEMS) para monitoramento em tempo real de emissões para o meio ambiente.

O sistema de arrefecimento dos equipamentos e feito através da circulação do ar forçado, por forma a minimizar a dependência da água. O ciclo de vapor utiliza o condensador refrigerado a ar forcado como dissipador de calor.

As turbinas a gás são do tipo LMF6000PF, com injectores de baixa emissão para redução de óxidos de nitrogénio (NOX).

Em síntese a central monitora as actividades que afectam ou podem afectar o meio ambiente, que se baseia no controle da emissão dos gases de escape, de partículas contidas na água e da poluição sonora.

6.5 ESTIMATIVA DO CUSTOS.

Tabela 2 Estimativa de custo. Fonte: Tecnel.

UNIDADE: CTM

LOCAL: Maputo Cidade
PROJECTO: Arrangue da central termoelétrica de Maputo em modo *Blackstart*

	tem Discrição Un Fornecedor Preco To					
Item	Discrição		Un	Fornecedor	Preço Total	
					(Mzn)	
1	Instalação de um novo pórtico de		1	Tecnel	270.000	
	33KV					
2	Isoladores de suspensão		12		96000	
3	Terminais para cravar 240mm		36		10800	
4	Cabos de terra 95mm		150m		27000	
5	Disjuntores 1250A		2		950 000	
6	Cabo VAV 1x240mm		100m		180 000	
7	Elétrodos de terra		10m		8000	
8	HM1 para PLC		1		120 000	
9	Módulos de comunicação		8		4000	
10	Suporte para cabo		60		6000	
11	Parafuso (M16) em latão estanhado		40		2000	
	para cabo de cobre,					
12	Caixas para união de cabos		3		81000	
13	Fusíveis NH 1250A		3		6000	
	TOTAL					

6.6 CONCLUSÃO

O projecto de arranque da central em modo *blackstart* representa um avanço significativo na gestão e operação do sistema eléctrico de potência, e demonstra um compromisso com a modernização e eficiência nas operações da central termoelétrica Maputo. O objectivo principal do trabalho foi projectar um sistema que permite operar a central mesmo na ausência da rede pública. Assim, as mesmas funções que estavam presentes no sistema de operação anterior foram mantidas, A capacidade de monitorar e controlar as turbinas remotamente proporciona uma resposta rápida a eventos imprevistos, o que é crucial para garantir a segurança e a eficácia das operações. A transição para este novo modo de operação da central oferece uma série de benefícios notáveis. Um exemplo concreto é a simplificação da manutenção da rede pública e o tempo de indisponibilidade da central. A utilização de PLC's e HMI torna o sistema mais intuitivo e acessível para os operadores. A interface gráfica da HMI oferece uma visão clara do estado do sistema e a capacidade de realizar ajustes em tempo real, simplificando a operação e melhorando a tomada de decisões.

6.6.2 RECOMENDAÇÕES.

Para melhor performance do sistema de potência da central termoelétrica de Maputo, recomendase que toda a intervenção ao sistema incluindo a atividades de manutenção preventiva ou corretiva, sejam realizadas por pessoal tecnicamente qualificado para tal, pois, as manobras de transferência de carga realizadas nesses sistemas exigem certo conhecimento técnico e possuem um alto risco de acidente com eletricidade devido aos níveis de tensão em que esses equipamentos operam. Uma manobra feita incorretamente pode ocasionar um curto-circuito ou uma explosão em algum componente caso os sistemas de proteção falhem. O funcionamento desta central em modo automático torna desnecessária a supervisão humana. Por consequência, a exposição aos riscos inerentes às manobras com equipamentos elétricos energizados é diminuída consideravelmente.

.

6.7 BIBLIOGRAFIA

- [1] AMY, L. T. Instrument Society of America. Automation Systems for Control and Data Acquisition, 1992. 254.
- [2] Cummins power generator, from http://www.cummins power.com.br
- [3] ASSIS, P. D. K. B. D. MICROCONTROLADOR, Barbacena, Dezembro 2004. 92.
- [4] Chapman, Stephen J. Fundamentos de Máquinas Elétricas. Editora Mc Graw Hill, 5^a Edição. 684p.
- [5] BOYER, S. A. SCADA, Supervisory Control and Data Acquisition. 4^a. ed. [S.l.]: International Society of Automation, v. III,
- [6] CHAPMAN, S. J. Fundamentos de Máquinas Elétricas. 5^a. ed. Por Alegre: MCGRAW HILL ARTMED, 2013. 608 p. CLARKE, G.; REYNDERS, D.; WRIGHT, E. Practical Modern SCADA Protocols DNP3, 60870.5 and Related Systems. [S.l.]: Elsever, 2004. 548
- [7] Conhecimentos adquiridos ao longo do percurso do curso de engenharia elétrica na UEM-FENG
- [8] PRADO, A. M. Sistema elétrico automatizado objetivando otimização na alimentação de centro de consumo. 2006. 81 p. Dissertação (Mestrado em Engenharia de Energia e Automação Elétricas) Departamento de Energia e Automação, Escola Politécnica da Universidade de São Paulo, São Paulo, 2006
- [9] UEM (Agosto/2006) "Manual de Instalações Elétricas II";
- [10] EDM, Operating and Maintenance Manual Central Térmica de Maputo, Vol. 1, Maputo
- [11] EDM, Operating and Maintenance Manual Central Térmica de Maputo, Vol. 6-1, Maputo
- [12] EDM, *Operating and Maintenance Manual* Central Térmica de Maputo, Vol. 17, Maputo.

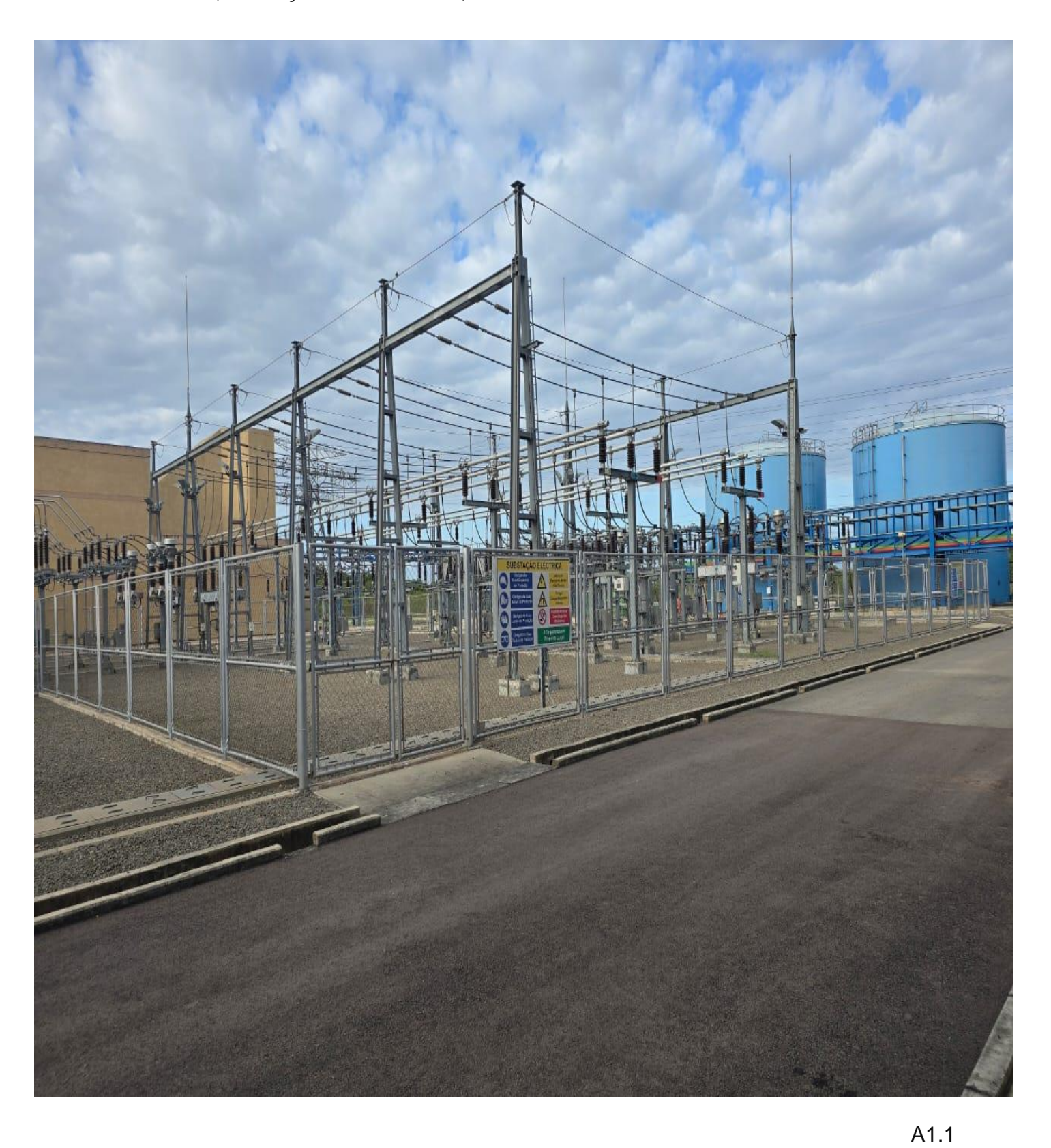
Projecto de arranque da central termoelétrica de Maputo-CTM em modo Blackstart.

- [13] EDM, Operating and Maintenance Manual Central Térmica de Maputo, Vol. 20, Maputo
- [14] Lucier, D., Gas Turbine Control & Protection Systems, PAL Engineering, Acessado em http://www.pdfcoffee.com/gt-control-amp-protection-systems-pdf-free.html aos 5 de Maio de 2025
- [15] Zancan, M. D., Controladores Programáveis, e-Tec Brasil, 2011

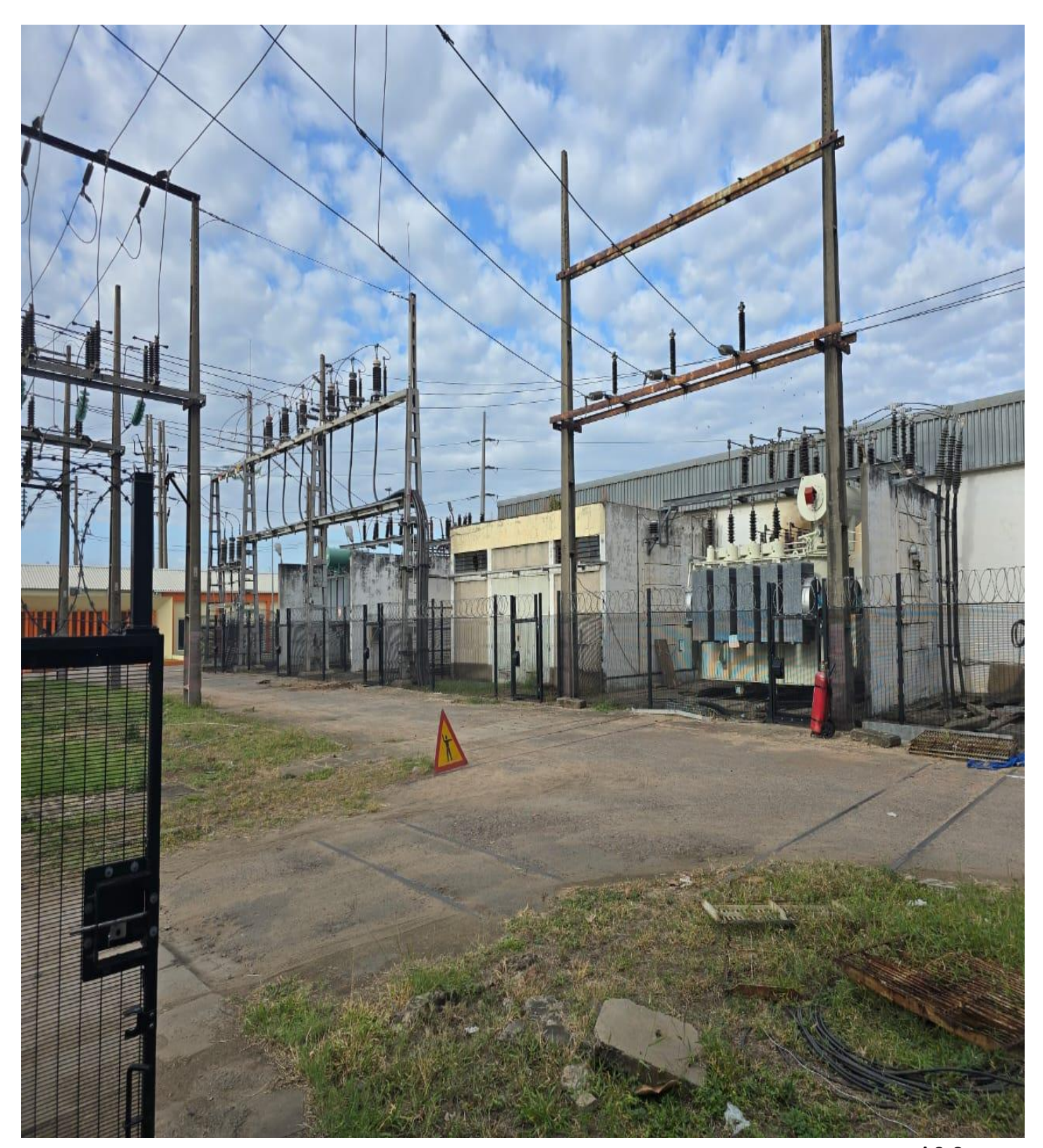
Projecto de arranque da central termoelétrica de Maputo-CTM em modo Blackstart.

ANEXOS

ANEXO 1: (Subestação 66kv CTM-AIS)



ANEXO 2: (Subestação 66kv SE2 GIS)



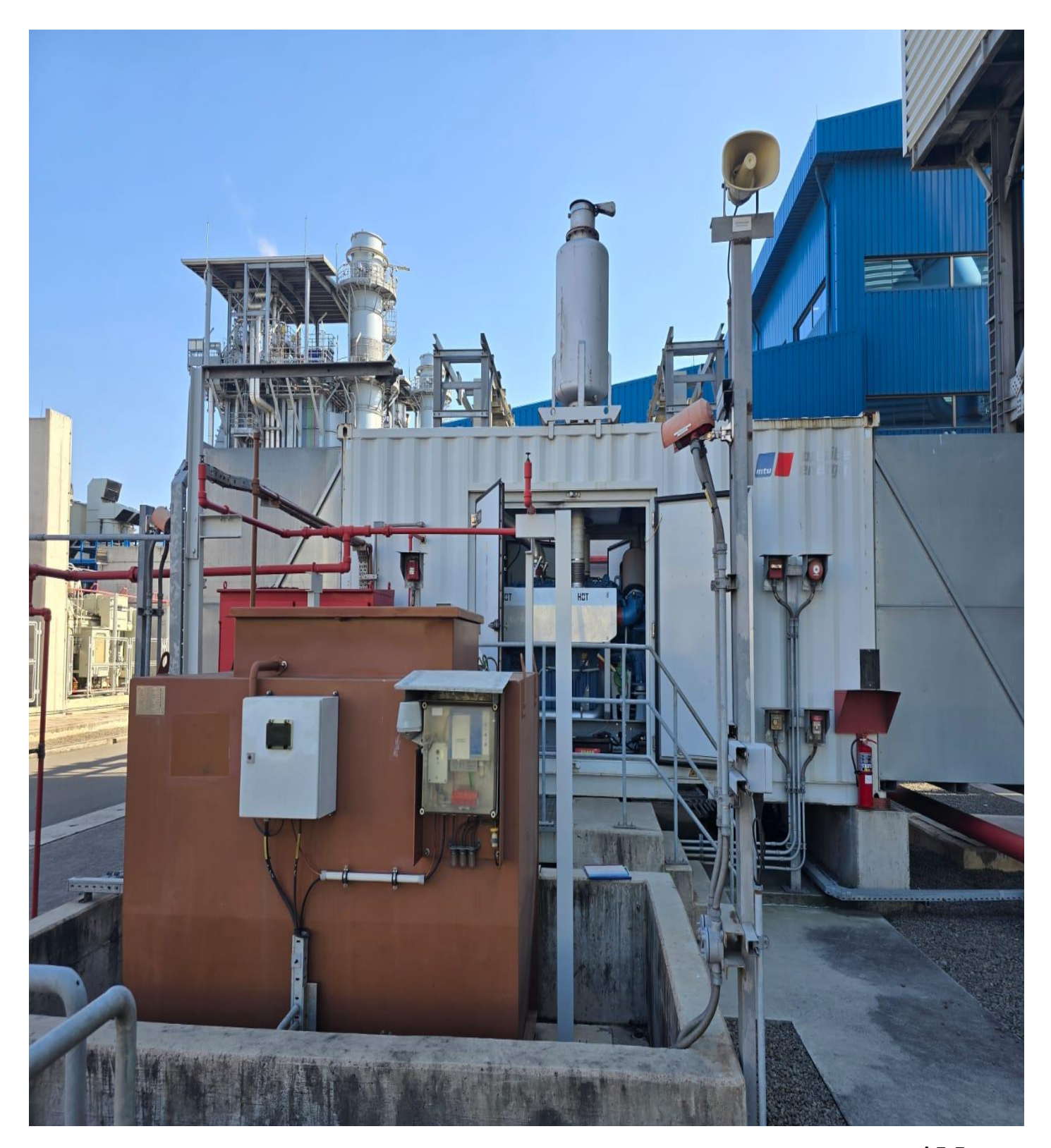
ANEXO 3: (Transformador terciário 11/66kv - 90MVA - Subestação da CTM)



ANEXO 4: (Transformador 11/66kv - 40MVA - Subestação da CTM)



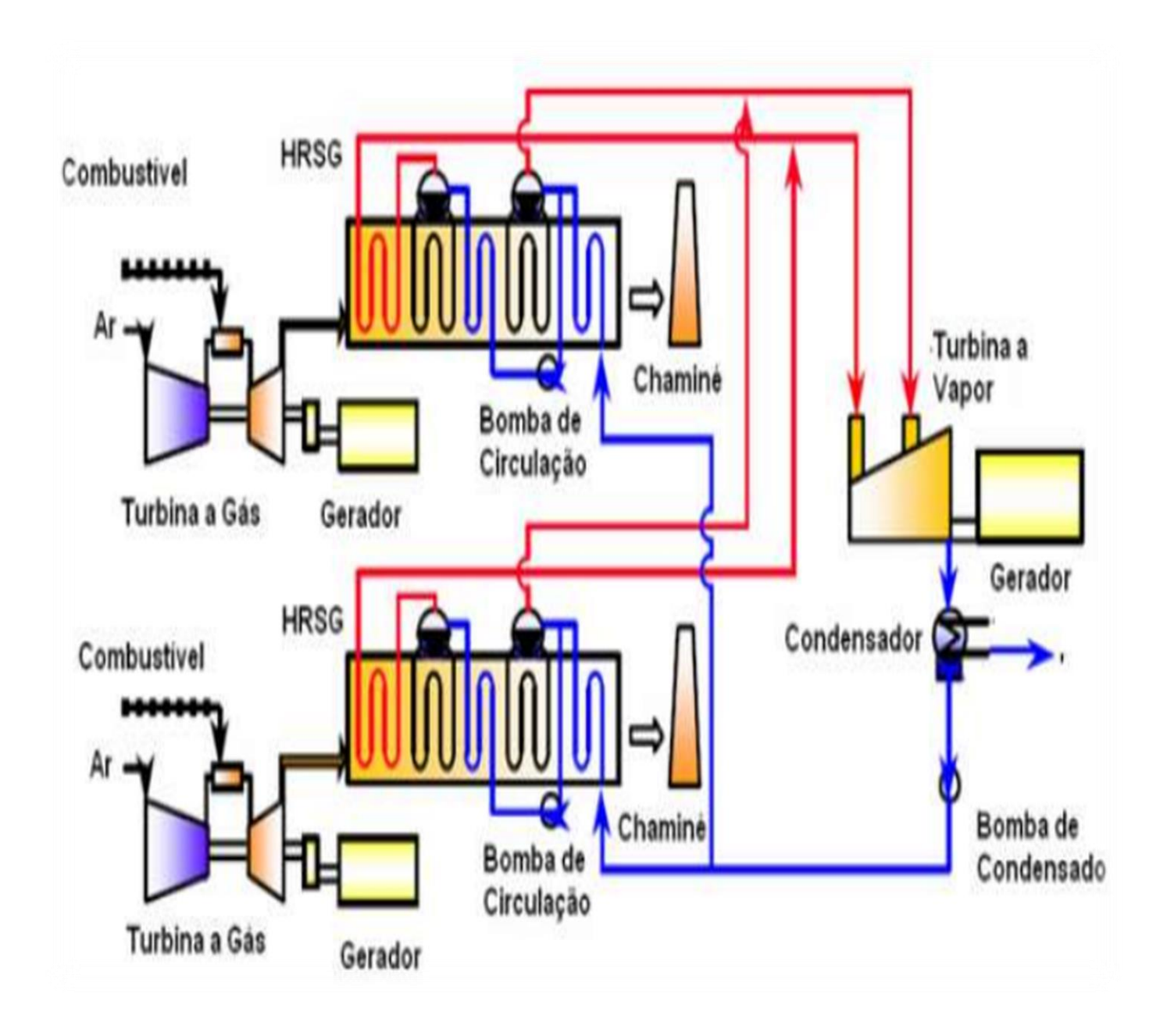
ANEXO 5: (Gerador de emergência, contentorizado – MTU-1MW)



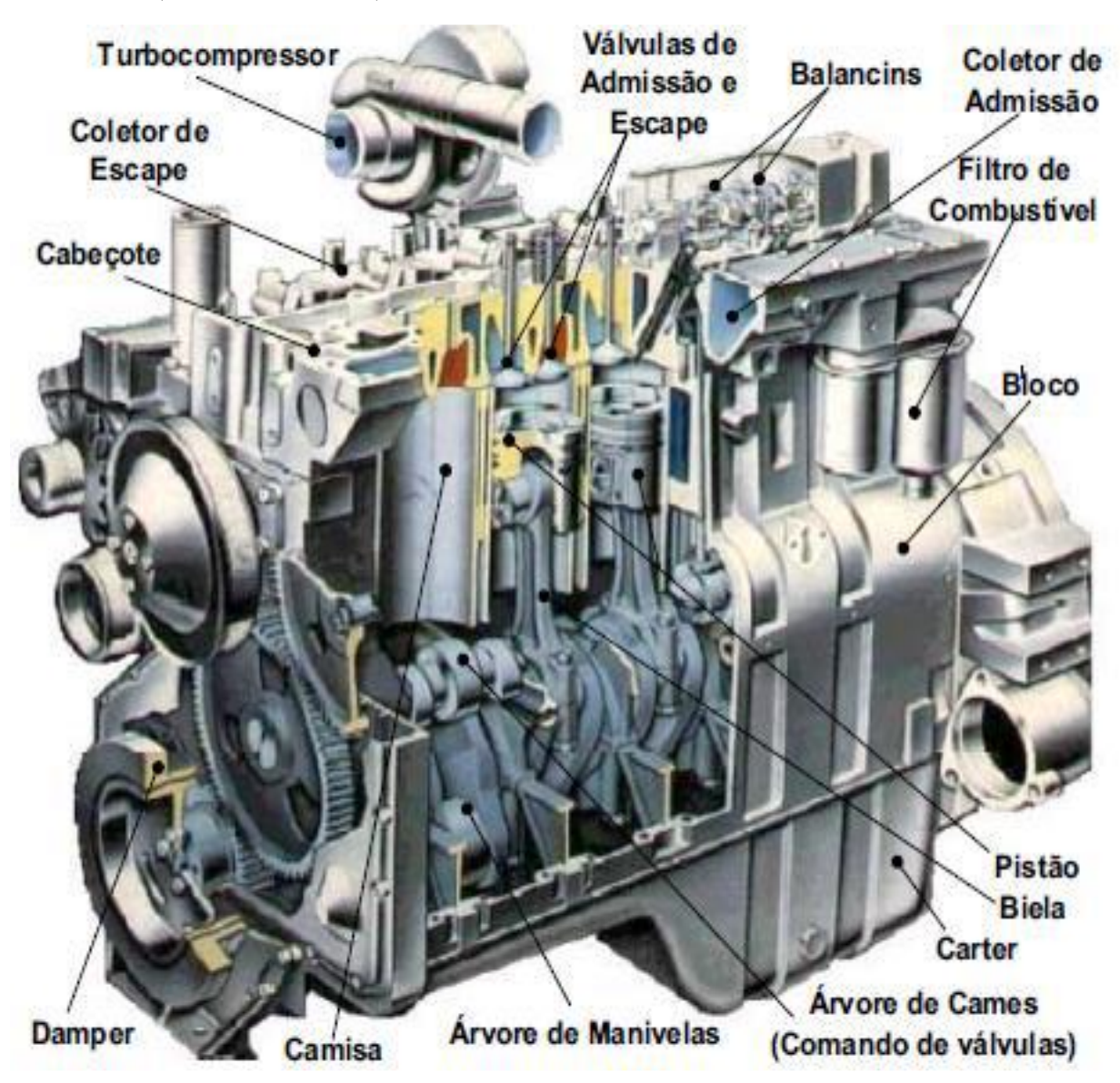
ANEXO 6: (Turbina a gás, modelo LM6000PF da CTM.)



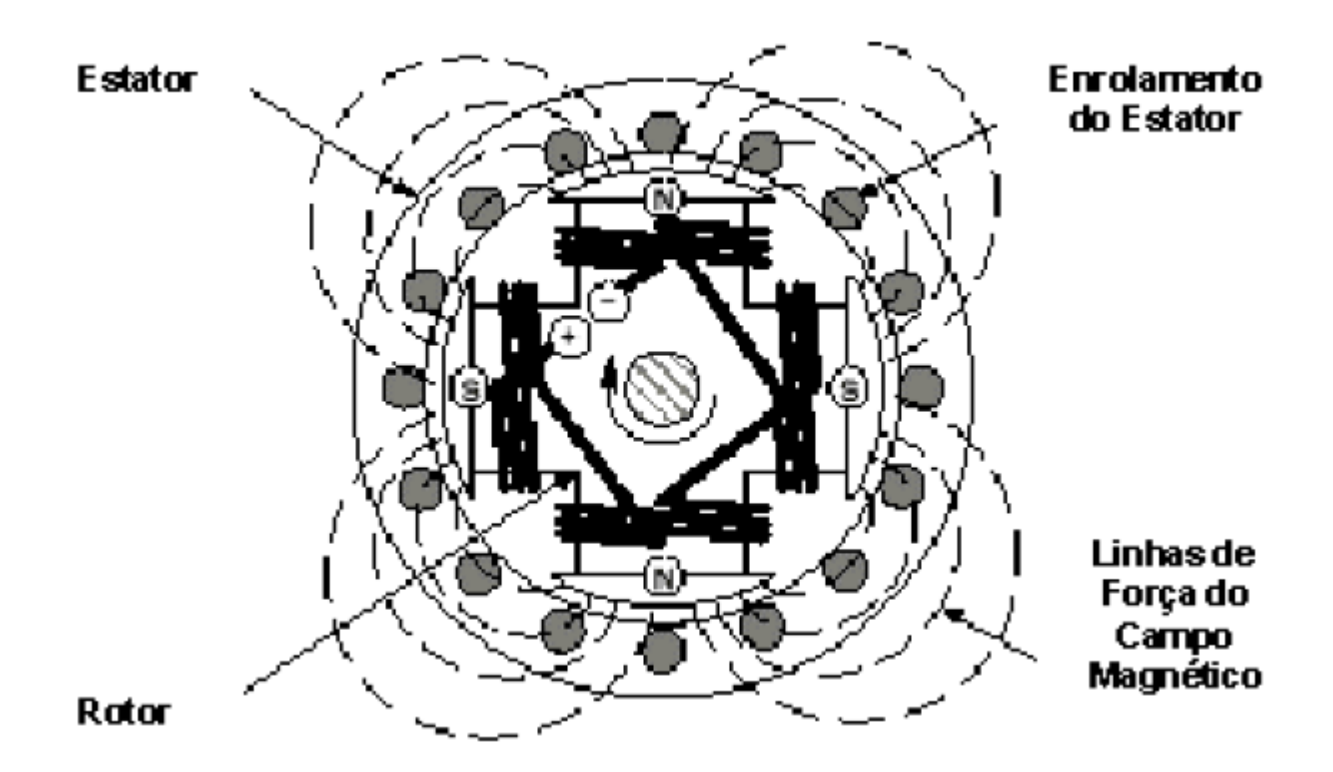
ANEXO 7: (- Esquema do ciclo combinado da CTM.)



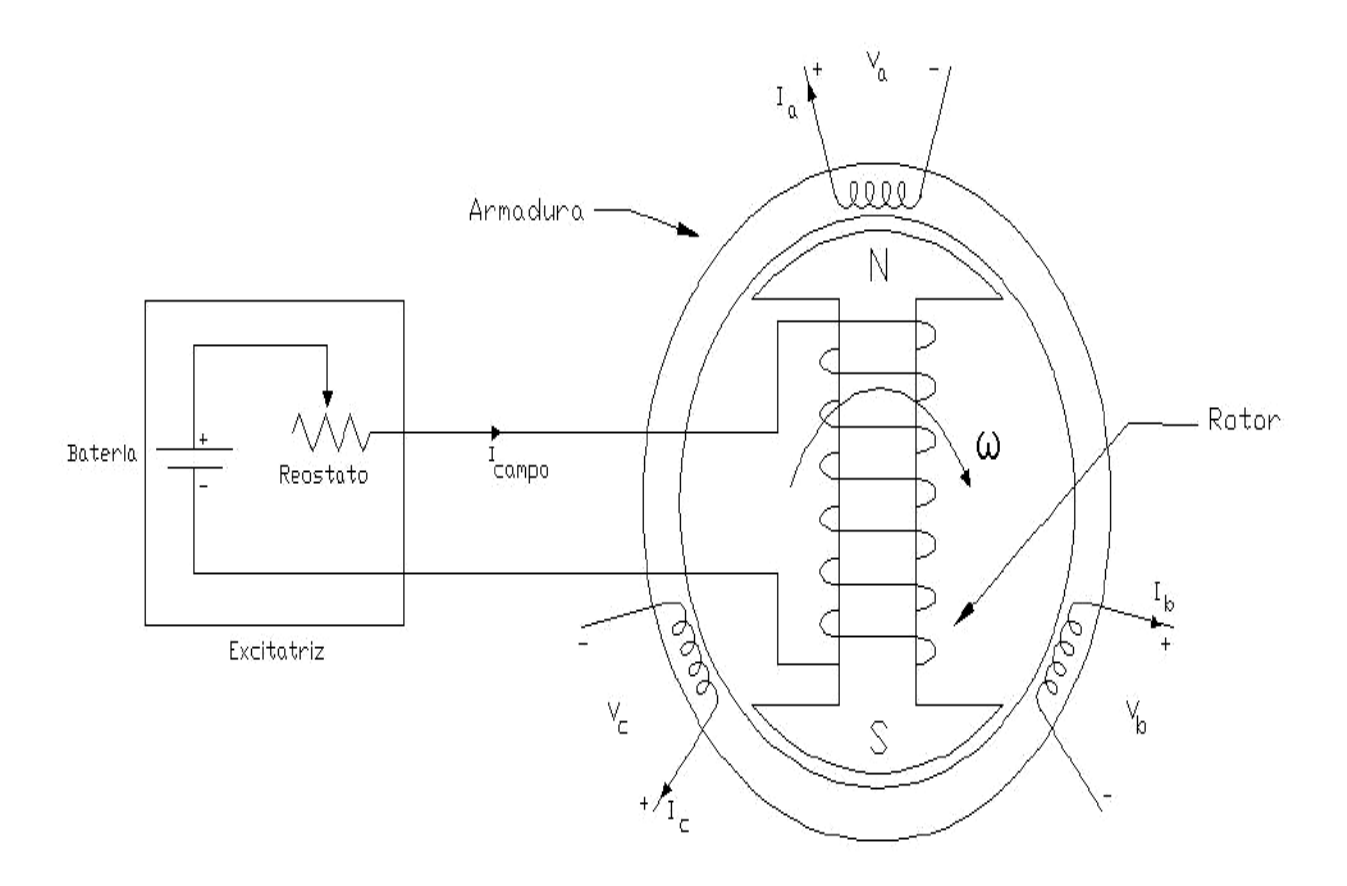
ANEXO 8: (MOTOR DIESEL)



ANEXO 9: (ALTERNADOR DE 4 PÓLOS)



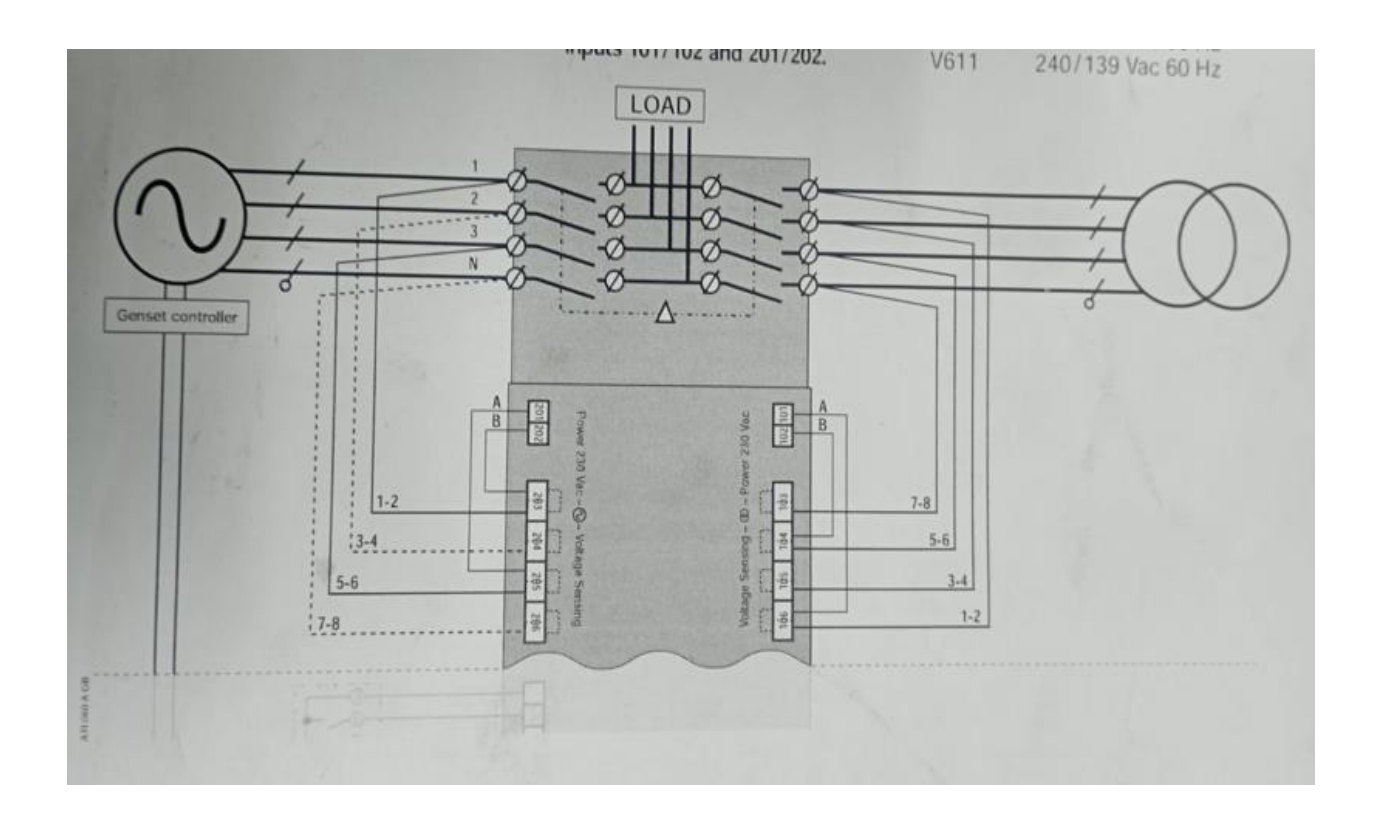
ANEXO 10: (ALTERNADOR)



ANEXO 11: (Condensador de vapor da turbina a vapor).



ANEXO 12: (DIAGRAMA DE UM SISTEMA DE INVERSÃO DE FONTES AUTOMATICO)



ANEXO 13: (Parâmetros da ATS)

Tabela A13 – 13: Parâmetros da ATS

	A11 L	ista de parámetros	s			- VERSO 200 - ANEXO 1		
	nombre	función						
	Гіро	red		3P+N, 3P, 2	P+N. 1P	valores posibles	ajuste está AUTOCO	_
1 (2)	Jnom Inom	Tension en voltios		440, 415, 4	00, 380,	240, 230, 220, 208	AUTOCO	2000
775	1) U<%	Frecuencia en Hz umbral de fallo de mínimo de	I F F C C C C C C C C C C C C C C C C C	50 Hz, 60 H	Z		AUTOCO	
100	2) U<%	umbral de fallo de mínimo de	U de red	rango de aj	uste en f	unción de los aparatos	15	
(1) U>%	umbral de fallo de máximo de	e U de red	rango de aj	uste en f	función de los aparatos función de los aparatos	15	
100	2) U>%	umbral de fallo de máximo de	e U de grupo	rango de aj	uste en f	función de los aparatos	10	
100	1) Hz<96	umbral de fallo de mínimo de	F de red	rango de aj	uste en f	unción de los aparatos	5	
10.75	2) Hz<% 1) Hz>%	umbral de fallo de mínimo de		rango de aj	uste en f	unción de los aparatos	5	
	2) Hz>%	umbral de fallo de máximo de umbral de fallo de máximo de	e F de red			función de los aparatos	5	
	ВС	sentido del generador de fass	2	ABC, ACB, (función de los aparatos	5 ABC	
) V/V	ajuste de medición de la tens	ion de red			tanancia (1=0,1 V) (ej.:)	1000	
) V/V	ajuste de medición de la tens	ión de grupo	modificació	n de la g	anancia (1=0,1 V) (ej.:)	1000	
0.00	osición dight	gestión de los retornos de las	posiciones	YES=gestión			YES	
and a		retroiluminación de la pantal contraste de la pantalla LCD	a CCD				99	
1000		tarjeta con Modbus		VES-con MA	ndhee a	IO=sin Modbus	50 NO	
Pri		Prioridad predeterminada a E	IP (*)			no aplicación	NO	
District Con-	OK?	confirmación manual de retor				irmación, NO=no se precisa confirmación	NO	
		sin gestión de los límites de U		OFF=funcion	amiento	con umbrales, ON-funcionamiento sin umbral	les OF	F
-		ralor de histéresis de tensión				bral de tensión)	2	
1		ralor de histéresis de frecuen en cambio de tarieta de medi		de 0% a 2% (del umbral de frecuencia) Modificación del decalaje de tensión de la tarjeta de medición 5A07				0
N.	1999							
	-	función	rango de ajuste	ajuste estándar	N.	función	ajuste e	111110000
TOO		de fuente 1	0 a 180s	estándar 3	T26	desplazamiento de la pantalla de mediciones	ajuste e 1 a 10s	stánda 5
T01	retorno	de fuente 1 de la fuente 2	0 a 180s 0 a 999s	estándar 3 5	T26 T27	desplazamiento de la pantalla de mediciones configuración automática	1 a 10s 0 a 999s	stánda 5 3
T01 T02	retorno mínimo	de fuente 1 de la fuente 2 U de la fuente 1	0 a 180s 0 a 999s 0 a 999s	estándar 3	T26	desplazamiento de la pantalla de mediciones	ajuste e 1 a 10s	stánda 5
T01	retorno mínimo máximo	de fuente 1 de la fuente 2 U de la fuente 1 U de la fuente 1	0 a 180s 0 a 999s	estándar 3 5 5	T26 T27 T28	desplazamiento de la pantalla de mediciones configuración automática mínimo U crítico de la fuente 1	ajuste e 1 a 10s 0 a 999s 0 a 999s	stánda 5 3 1
T01 T02 T03	retorno mínimo máximo mínimo	de fuente 1 de la fuente 2 U de la fuente 1	0 a 180s 0 a 999s 0 a 999s 0 a 999s	estándar 3 5 5 5	T26 T27 T28 T29	desplazamiento de la pantalla de mediciones configuración automática mínimo U crítico de la fuente 1 máximo U crítico de la fuente 1	ajuste 1 a 10s 0 a 999s 0 a 999s 0 a 999s	5 3 1
T01 T02 T03 T04	retorno mínimo máximo mínimo máximo	de fuente 1 de la fuente 2 U de la fuente 1 U de la fuente 1 U de la fuente 2	0 a 180s 0 a 999s 0 a 999s 0 a 999s 0 a 999s	estandar 3 5 5 5 5	T26 T27 T28 T29 T30 T31	desplazamiento de la pantalla de mediciones configuración automática mínimo U crítico de la fuente 1 máximo U crítico de la fuente 1 mínimo U crítico de la fuente 2 máximo U crítico de la fuente 2 mínima F crítica de la fuente 1	1 a 10s 0 a 999s 0 a 999s 0 a 999s 0 a 999s 0 a 999s 0 a 999s	standa 5 3 1 1 5 5
T01 T02 T03 T04 T05	retorno mínimo máximo mínimo máximo mínima máxima	de fuente 1 de la fuente 2 U de la fuente 1 U de la fuente 1 U de la fuente 2 U de la fuente 2 F de la fuente 1 F de la fuente 1	0 a 180s 0 a 999s 0 a 999s 0 a 999s 0 a 999s 0 a 999s 0 a 999s 0 a 999s	estándar 3 5 5 5 5 5 5 5	T26 T27 T28 T29 T30 T31 T32	desplazamiento de la pantalla de mediciones configuración automática mínimo U crítico de la fuente 1 máximo U crítico de la fuente 1 mínimo U crítico de la fuente 2 máximo U crítico de la fuente 2 mínima F crítica de la fuente 1 máxima F crítica de la fuente 1	1 a 10s 0 a 999s 0 a 999s 0 a 999s 0 a 999s 0 a 999s 0 a 999s 0 a 999s	standa 5 3 1 1 5 5 5
T01 T02 T03 T04 T05 T06 T07 T08	retorno mínimo máximo mínimo máximo mínima máxima mínima	de fuente 1 de la fuente 2 U de la fuente 1 U de la fuente 1 U de la fuente 2 U de la fuente 2 F de la fuente 1 F de la fuente 1 F de la fuente 2	0 a 180s 0 a 999s 0 a 999s 0 a 999s 0 a 999s 0 a 999s 0 a 999s 0 a 999s	estándar 3 5 5 5 5 5 5 5 5	T26 T27 T28 T29 T30 T31 T32 T33	desplazamiento de la pantalla de mediciones configuración automática mínimo U crítico de la fuente 1 máximo U crítico de la fuente 2 máximo U crítico de la fuente 2 máximo U crítico de la fuente 2 mínima F crítica de la fuente 1 máxima F crítica de la fuente 1 mínima F crítica de la fuente 2	1 a 10s 0 a 999s 0 a 999s	5 3 1 1 5 5 5 1 1 5
T01 T02 T03 T04 T05 T06 T07 T08 T09	retorno mínimo máximo mínimo máximo mínima máxima mínima máxima	de fuente 1 de la fuente 2 U de la fuente 1 U de la fuente 1 U de la fuente 2 U de la fuente 2 F de la fuente 1 F de la fuente 1 F de la fuente 2 F de la fuente 2 F de la fuente 2	0 a 180s 0 a 999s 0 a 999s	estándar 3 5 5 5 5 5 5 5 5 5 5	T26 T27 T28 T29 T30 T31 T32 T33 T34 T35	desplazamiento de la pantalla de mediciones configuración automática mínimo U crítico de la fuente 1 máximo U crítico de la fuente 2 máximo U crítico de la fuente 2 máximo U crítico de la fuente 2 mínima F crítica de la fuente 1 máxima F crítica de la fuente 1 mínima F crítica de la fuente 2 máxima F crítica de la fuente 2 máxima F crítica de la fuente 2	ajuste 1 a 10s 0 a 999s	5 3 1 1 5 5 1 1 5 5 1 1 5 5
T01 T02 T03 T04 T05 T06 T07 T08 T09 T10	retorno mínimo máximo mínimo máximo mínima máxima mínima máxima fallo del	de fuente 1 de la fuente 2 U de la fuente 1 U de la fuente 1 U de la fuente 2 U de la fuente 2 F de la fuente 1 F de la fuente 1 F de la fuente 2 mando de la fuente 1	0 a 180s 0 a 999s 0 a 999s	estándar 3 5 5 5 5 5 5 5 5 5 5 5	T26 T27 T28 T29 T30 T31 T32 T33 T34 T35	desplazamiento de la pantalla de mediciones configuración automática mínimo U crítico de la fuente 1 máximo U crítico de la fuente 2 máximo U crítico de la fuente 2 máximo U crítico de la fuente 2 mínima F crítica de la fuente 1 máxima F crítica de la fuente 1 mínima F crítica de la fuente 2	a juste 1 a 10s 0 a 999s	5 3 1 1 5 5 1 1 5 5 1 1 5 5
T01 T02 T03 T04 T05 T06 T07 T08 T09 T10 T11	retorno mínimo máximo mínimo mínima máxima mínima máxima fallo del fallo del	de fuente 1 de la fuente 2 U de la fuente 1 U de la fuente 1 U de la fuente 2 U de la fuente 2 F de la fuente 1 F de la fuente 1 F de la fuente 2 mando de la fuente 1 mando de la fuente 2	0 a 180s 0 a 190s 0 a 999s 0 a 999s 2 a 999s	estándar 3 5 5 5 5 5 5 5 5 5 5 5 5	T26 T27 T28 T29 T30 T31 T32 T33 T34 T35	desplazamiento de la pantalla de mediciones configuración automática mínimo U crítico de la fuente 1 máximo U crítico de la fuente 2 máximo U crítico de la fuente 2 máximo U crítico de la fuente 2 mínima F crítica de la fuente 1 mínima F crítica de la fuente 1 mínima F crítica de la fuente 2 máxima F crítica de la fuente 2 máxima F crítica de la fuente 2 fallo final de la fuente 1	ajuste 1 a 10s 0 a 999s	5 3 1 1 5 5 1 1 5 5 1 1 5 5
T01 T02 T03 T04 T05 T06 T07 T08 T09 T10 T11 T12	retorno mínimo máximo mínimo mínima máxima mínima máxima fallo del fallo del basculac	de fuente 1 de la fuente 2 U de la fuente 1 U de la fuente 1 U de la fuente 2 U de la fuente 2 F de la fuente 1 F de la fuente 1 F de la fuente 2 mando de la fuente 1 mando de la fuente 2 ión de fuente 2	0 a 180s 0 a 999s 0 a 999s 2 a 999s 2 a 999s	estándar 3 5 5 5 5 5 5 5 5 5 5 5 5 5 5 5 5 5 5	T26 T27 T28 T29 T30 T31 T32 T33 T34 T35 T36	desplazamiento de la pantalla de mediciones configuración automática mínimo U crítico de la fuente 1 máximo U crítico de la fuente 1 mínimo U crítico de la fuente 2 máximo U crítico de la fuente 2 máxima F crítica de la fuente 1 máxima F crítica de la fuente 1 mínima F crítica de la fuente 2 máxima F crítica de la fuente 2 máxima F crítica de la fuente 2 fallo final de la fuente 1 reserva	0 a 999s 0 a 999s	5 3 1 1 5 5 1 1 5 5 1 1 5 5 1
T01 T02 T03 T04 T05 T06 T07 T08 T09 T10 T11 T12 T13	retorno mínimo máximo mínima máxima mínima máxima fallo del fallo del basculac estabiliza	de fuente 1 de la fuente 2 U de la fuente 1 U de la fuente 1 U de la fuente 2 U de la fuente 2 F de la fuente 1 F de la fuente 1 F de la fuente 2 F de la fuente 2 F de la fuente 2 mando de la fuente 1 mando de la fuente 2 ión de fuente 2 ión de U de la fuente 1	0 a 180s 0 a 190s 0 a 999s 0 a 999s 2 a 999s	estándar 3 5 5 5 5 5 5 5 5 5 5 5 5 5	T26 T27 T28 T29 T30 T31 T32 T33 T34 T35 T36 T37	desplazamiento de la pantalla de mediciones configuración automática mínimo U crítico de la fuente 1 máximo U crítico de la fuente 1 mínimo U crítico de la fuente 2 máximo U crítico de la fuente 2 mínima F crítica de la fuente 1 máxima F crítica de la fuente 1 mínima F crítica de la fuente 2 máxima F crítica de la fuente 2 máxima F crítica de la fuente 2 máxima F crítica de la fuente 2 fallo final de la fuente 1 reserva fallo final de la fuente 2	ajuste 1 a 10s 0 a 999s 0 a 999s/10 0 a 999s/10	5 3 1 1 5 5 1 1 5 5 1 1 5 5 1 1 5 5 1 1 5 5 1 1 5 5 5 1 1 5 5 5 5 5 5 7 7 8 7 8 7 8 7 8 7 8 7 8 7
T01 T02 T03 T04 T05 T06 T07 T08 T09	retorno mínimo máximo mínimo máximo mínima máxima fallo del fallo del fallo del fallo del soculac estabiliza estabiliza	de fuente 1 de la fuente 2 U de la fuente 1 U de la fuente 1 U de la fuente 2 U de la fuente 2 F de la fuente 1 F de la fuente 1 F de la fuente 2 mando de la fuente 1 mando de la fuente 2 ión de fuente 2 ición de U de la fuente 1 ición de U de la fuente 2	0 a 180s 0 a 999s 0 a 999s 2 a 999s 2 a 999s 2 a 999s 0 a 999s/10	estándar 3 5 5 5 5 5 5 5 5 5 5 5 5 5	T26 T27 T28 T29 T30 T31 T32 T33 T34 T35 T36 T37 T38	desplazamiento de la pantalla de mediciones configuración automática mínimo U crítico de la fuente 1 máximo U crítico de la fuente 2 máximo U crítico de la fuente 2 máximo U crítico de la fuente 2 máximo Ercítica de la fuente 1 máxima F crítica de la fuente 1 máxima F crítica de la fuente 2 máxima F crítica de la fuente 2 máxima F crítica de la fuente 2 fallo final de la fuente 1 reserva fallo final de la fuente 2 reserva	ajuste 1 a 10s 0 a 999s 0 a 999s/10 0 a 999s 0 a 999s/10 0 a 999s 0 a 999s/10 0 a 999s	5 3 1 1 5 5 1 1 5 5 1 1 5
T01 T02 T03 T04 T05 T06 T07 T08 T09 T10 T11 T12 T13 T14 T15	retorno mínimo máximo mínimo máximo mínima máxima fallo del fallo del basculac estabiliza estabiliza estableci	de fuente 1 de la fuente 2 U de la fuente 1 U de la fuente 1 U de la fuente 2 U de la fuente 2 F de la fuente 1 F de la fuente 1 F de la fuente 2 F de la fuente 1 F de la fuente 1 F de la fuente 1 F de la fuente 2 F de la fuente 1	0 a 180s 0 a 999s 0 a 999s 2 a 999s 2 a 999s 0 a 999s/10 0 a 999s/10	estándar 3 5 5 5 5 5 5 5 5 5 5 5 5 5	T26 T27 T28 T29 T30 T31 T32 T33 T34 T35 T36 T37 T38 T39 T40	desplazamiento de la pantalla de mediciones configuración automática mínimo U crítico de la fuente 1 máximo U crítico de la fuente 1 mínimo U crítico de la fuente 2 máximo U crítico de la fuente 2 máxima F crítica de la fuente 1 máxima F crítica de la fuente 1 mínima F crítica de la fuente 2 máxima F crítica de la fuente 2 máxima F crítica de la fuente 2 fallo final de la fuente 1 reserva fallo final de la fuente 2 reserva demanda de producción basculación de la alimentación del inverso activación de la retroiluminación	0 a 999s 0 a 999s/10 0 a 999s 0 a 999s 0 a 999s	5 3 1 1 5 5 1 1 5 5 1 1 5 5 1 1 5 5 1 1 5 5 1 1 5 1 1 1 5 1
T01 T02 T03 T04 T05 T06 T07 T08 T09 T10 T11 T12 T13 T14 T15 T16	retorno mínimo máximo mínimo mínima máxima máxima fallo del basculac estabiliza estabiliza estabileci estableci	de fuente 1 de la fuente 2 U de la fuente 1 U de la fuente 1 U de la fuente 2 U de la fuente 2 F de la fuente 1 F de la fuente 1 F de la fuente 2 T de la fuente 1 T de la fuente 1 T de la fuente 2	0 a 180s 0 a 999s 2 a 999s 2 a 999s 0 a 999s/10 0 a 999s/10 0 a 999s/10 0 a 999s/10	estándar 3 5 5 5 5 5 5 5 5 5 5 5 5 5	T26 T27 T28 T29 T30 T31 T32 T33 T34 T35 T36 T37 T38 T39 T40	desplazamiento de la pantalla de mediciones configuración automática mínimo U crítico de la fuente 1 máximo U crítico de la fuente 1 mínimo U crítico de la fuente 2 máximo U crítico de la fuente 2 mínima F crítica de la fuente 1 máxima F crítica de la fuente 1 mínima F crítica de la fuente 2 máxima F crítica de la fuente 2 máxima F crítica de la fuente 2 máxima F crítica de la fuente 2 reserva fallo final de la fuente 2 reserva demanda de producción basculación de la alimentación del inverso activación de la retrolluminación fallo de apertura de la fuente 1	0 a 999s 0 a 999s/10 0 a 999s 0 a 999s/10 0 a 999s 0 a 999s 0 a 999s 0 a 999s	5 3 1 1 5 5 1 1 5 5 1 1 5 5 1 1 5 5 1 1 5 5 1 1 5 1 1 5 1
T01 T02 T03 T04 T05 T06 T07 T08 T09 T10 T11 T12 T13 T14 T15 T16 T17	retorno mínimo máximo mínimo máximo mínima máxima fallo del basculac estabiliza estabiliza estableci estableci enfriamie	de fuente 1 de la fuente 2 U de la fuente 1 U de la fuente 1 U de la fuente 2 U de la fuente 2 F de la fuente 1 F de la fuente 1 F de la fuente 2 F de la fuente 1 F de la fuente 1 F de la fuente 1 F de la fuente 2 F de la fuente 1	0 a 180s 0 a 999s 1 a 999s 1 a 999s 2 a 999s 0 a 999s 1 a 999s 2 a 999s 3 a 999s 2 a 999s 3 a 999s 4 a 99s 2 a 99s 2 a 99s 3 a 99s 4 a 99s 2 a 99s 2 a 99s 3 a 99s 4 a 99s 4 a 9 a 9 a 9 a 9 a 9 a 9 a 9 a 9 a 9 a	estándar 3 5 5 5 5 5 5 5 5 5 5 5 5 5	T26 T27 T28 T29 T30 T31 T32 T33 T34 T35 T36 T37 T38 T39 T40 T41 T42 T43 T44	desplazamiento de la pantalla de mediciones configuración automática mínimo U crítico de la fuente 1 máximo U crítico de la fuente 1 mínimo U crítico de la fuente 2 máximo U crítico de la fuente 2 mínima F crítica de la fuente 1 máxima F crítica de la fuente 1 máxima F crítica de la fuente 2 reserva fallo final de la fuente 1 reserva demanda de producción basculación de la alimentación del inverso activación de la retrolluminación fallo de apertura de la fuente 2	a juste 1 a 10s 0 a 999s 0 a 999s/10 0 a 999s	5 3 1 1 5 5 1 1 5 5 1 1 5 5 1 1 5 5 1 1 5 5 1 1 5 1 5 1 1 1 5 1 5 1 5 1 5 1 5 1 5 1 5 1 5 1 5 1 5 1 5 1 5
T01 T02 T03 T04 T05 T06 T07 T08 T09 T10 T11 T12 T13 T14 T15 T16 T17 T18	retorno mínimo máximo máximo mínima máxima máxima fallo del fallo del basculac estabiliza estabiliza estabileci enfriamide prueba	de fuente 1 de la fuente 2 U de la fuente 1 U de la fuente 1 U de la fuente 2 U de la fuente 2 F de la fuente 2 F de la fuente 1 F de la fuente 2 mando de la fuente 1 mando de la fuente 1 mando de la fuente 2 miento de U de la fuente 1 miento de U de la fuente 2 miento de U de la fuente 2 miento de U de la fuente 1 miento de U de la fuente 2 miento de GE de la fuente 2	0 a 180s 0 a 999s 1 a 999s	estándar 3 5 5 5 5 5 5 5 5 5 5 5 5 5	T26 T27 T28 T29 T30 T31 T32 T33 T34 T35 T36 T37 T38 T39 T40 T41 T42 T43 T44 T45	desplazamiento de la pantalla de mediciones configuración automática mínimo U crítico de la fuente 1 máximo U crítico de la fuente 2 máximo U crítico de la fuente 2 máximo U crítico de la fuente 2 máximo I crítico de la fuente 2 máxima F crítica de la fuente 1 máxima F crítica de la fuente 2 máxima F crítica de la fuente 2 máxima F crítica de la fuente 2 fallo final de la fuente 1 reserva fallo final de la fuente 2 reserva demanda de producción basculación de la alimentación del inverso activación de la retroiluminación fallo de apertura de la fuente 1 fallo de apertura de la fuente 2 reserva	ajuste 1 a 10s 0 a 999s	5 3 1 1 5 5 1 1 5 5 1 1 5 5 1 1 5 5 1 1 5 5 1 1 1 5 5 1 1 1 5 5 1 1 1 1 5 5 1 1 1 1 5
T01 T02 T03 T04 T05 T06 T07 T08 T09 T10 T11 T12 T13 T14 T15 T16 T17 T18 T19 T20	retorno mínimo máximo máximo mínimo máximo mínima máxima máxima fallo del fallo del basculac estabiliza estabiliza estabilica enfriamie enfriamie prueba preaviso	de fuente 1 de la fuente 2 U de la fuente 1 U de la fuente 1 U de la fuente 2 U de la fuente 2 F de la fuente 1 F de la fuente 1 F de la fuente 2 mando de la fuente 2 ión de fuente 2 miento de U de la fuente 1 miento de U de la fuente 1 miento de U de la fuente 2	0 a 180s 0 a 999s 0 a 999s/10 0 a 999s 0 a 999s	estándar 3 5 5 5 5 5 5 5 5 5 5 5 5 5	T26 T27 T28 T29 T30 T31 T32 T33 T34 T35 T36 T37 T38 T39 T40 T41 T42 T43 T44 T45 T46	desplazamiento de la pantalla de mediciones configuración automática mínimo U crítico de la fuente 1 máximo U crítico de la fuente 1 mínimo U crítico de la fuente 2 máximo U crítico de la fuente 2 máxima F crítica de la fuente 1 máxima F crítica de la fuente 1 mínima F crítica de la fuente 2 máxima F crítica de la fuente 2 máxima F crítica de la fuente 2 fallo final de la fuente 1 reserva fallo final de la fuente 2 reserva demanda de producción basculación de la alimentación del inverso activación de la retrolluminación fallo de apertura de la fuente 2 reserva reserva	0 a 999s 0 a 999s/10 0 a 999s/10 0 a 999s 0 a 999s	5 3 1 1 5 5 1 1 5 5 1 1 5 5 1 1 5 5 1 5 3 1 3 1
T01 T02 T03 T04 T05 T06 T07 T08 T09 T10 T11 T12 T13 T14 T15 T16 T17 T18 T19 T20 T21	retorno mínimo máximo mínimo mínimo mínima máxima máxima fallo del basculac estabiliza estabiliza estabileci enfriamie enfriamie prueba preaviso pérdida d	de fuente 1 de la fuente 2 U de la fuente 1 U de la fuente 1 U de la fuente 2 U de la fuente 2 F de la fuente 1 F de la fuente 1 F de la fuente 2 mando de la fuente 1 mando de la fuente 2 mindo de la fuente 2 mindo de U de la fuente 1 miento de U de la fuente 1 miento de U de la fuente 2	0 a 180s 0 a 999s 10 a 999s	estándar 3 5 5 5 5 5 5 5 5 5 5 5 5 5	T26 T27 T28 T29 T30 T31 T32 T33 T34 T35 T36 T37 T38 T39 T40 T41 T42 T43 T44 T45 T46 T47	desplazamiento de la pantalla de mediciones configuración automática mínimo U crítico de la fuente 1 máximo U crítico de la fuente 1 mínimo U crítico de la fuente 2 máximo U crítico de la fuente 2 máxima F crítica de la fuente 1 máxima F crítica de la fuente 1 mínima F crítica de la fuente 2 máxima F crítica de la fuente 2 máxima F crítica de la fuente 2 fallo final de la fuente 2 reserva fallo final de la fuente 2 reserva demanda de producción basculación de la alimentación del inverso activación de la retroiluminación fallo de apertura de la fuente 1 fallo de apertura de la fuente 2 reserva reserva reserva	0 a 999s	5 3 1 1 5 5 1 1 5 5 1 1 5 5 1 1 5 5 5 1 3 15 5 3 3 3 3
T01 T02 T03 T04 T05 T06 T07 T08 T09 T10 T11 T12 T13 T14 T15 T16 T17 T18 T19 T20 T21	retorno mínimo máximo mínimo máximo mínima máxima máxima fallo del basculac estabiliza estabiliza estabileci estableci enfriamie enfriamie prueba preaviso pérdida d corte de s	de fuente 1 de la fuente 2 U de la fuente 1 U de la fuente 1 U de la fuente 2 U de la fuente 2 U de la fuente 2 F de la fuente 1 F de la fuente 1 F de la fuente 2 Imando de la fuente 1 Imando de la fuente 1 Imando de la fuente 1 Imando de la fuente 2 Inición de U de la fuente 1 Imiento de U de la fuente 2 Imiento de U de la fuente 3 Imiento de EJP (*) Imiento de U de la fuente 3 Imiento de EJP (*)	0 a 180s 0 a 999s 2 a 999s 2 a 999s 2 a 999s 2 a 999s 0 a 999s/10 0 a 999s	estándar 3 5 5 5 5 5 5 5 5 5 5 5 5 5	T26 T27 T28 T29 T30 T31 T32 T33 T34 T35 T36 T37 T38 T39 T40 T41 T42 T43 T44 T45 T46 T47 T48	desplazamiento de la pantalla de mediciones configuración automática mínimo U crítico de la fuente 1 máximo U crítico de la fuente 2 máximo U crítico de la fuente 2 máximo U crítico de la fuente 2 mínima F crítica de la fuente 1 máxima F crítica de la fuente 1 mínima F crítica de la fuente 2 máxima F crítica de la fuente 2 máxima F crítica de la fuente 2 máxima F crítica de la fuente 2 reserva fallo final de la fuente 2 reserva demanda de producción basculación de la alimentación del inverso activación de la retroiluminación fallo de apertura de la fuente 1 fallo de apertura de la fuente 2 reserva reserva reserva reserva	0 a 999s	5 3 1 1 5 5 1 1 5 5 1 1 5 5 1 1 5 5 5 1 3 1 5 5 3 3 1 5 5 3 3 3 3
T01 T02 T03 T04 T05 T06 T07 T08 T09 T10 T11 T12 T114 T15 T16 T17 T18 T19 T20 T21 T22 T23	retorno mínimo máximo mínimo máximo mínima máxima máxima fallo del fallo del basculac establica estableci estableci enfriamie enfriamie prueba preaviso predida di corte de si falta de p	de fuente 1 de la fuente 2 U de la fuente 1 U de la fuente 1 U de la fuente 2 U de la fuente 2 F de la fuente 1 F de la fuente 1 F de la fuente 2 mando de la fuente 1 mando de la fuente 2 mindo de la fuente 2 mindo de U de la fuente 1 miento de U de la fuente 1 miento de U de la fuente 2	0 a 180s 0 a 999s 10 a 999s	estándar 3 5 5 5 5 5 5 5 5 5 5 5 5 5	T26 T27 T28 T29 T30 T31 T32 T33 T34 T35 T36 T37 T38 T39 T40 T41 T42 T43 T44 T45 T46 T47	desplazamiento de la pantalla de mediciones configuración automática mínimo U crítico de la fuente 1 máximo U crítico de la fuente 1 mínimo U crítico de la fuente 2 máximo U crítico de la fuente 2 máxima F crítica de la fuente 1 máxima F crítica de la fuente 1 mínima F crítica de la fuente 2 máxima F crítica de la fuente 2 máxima F crítica de la fuente 2 fallo final de la fuente 2 reserva fallo final de la fuente 2 reserva demanda de producción basculación de la alimentación del inverso activación de la retroiluminación fallo de apertura de la fuente 1 fallo de apertura de la fuente 2 reserva reserva reserva	0 a 999s	5 3 1 1 5 5 1 1 5 5 1 1 5 5 1 1 5 5 5 1 3 15 5 3 3 3 3

ANEXO 14: (CATÁLOGO DE DISJUNTORES)

	- O4 - O E							
	Dimensões (frame s)	Correntes (A)	Proteção Termomagnética	Proteção Betrônica	Capacidade de interrupção I _{cu} e 350 V CA			
Minidisjunto	MDW							
	Frame 1	2 a 63 70 a 125	Fixe		3			
Minidisjunto	MDWH*							
	1 frame	6a 69	Fixo		10 4			
Disjuntor em	Caixa Molda da Predial D	WP						
MARY TO STATE OF THE PARTY OF T	1 frame	100 a 225	Fixo	-	12			
Disjuntor em	Caixa Moldada AGW							
	50/100 250 400 800	15 a 100 125 a 250 250 a 240 500 a 800	Fixo	-	18-22 30 42 45			
Disjuntor em	Caixa Moldada DW							
	160 250 400 800	16a 160 100 a 250 200 a 400 320 a 800 1 250 e 1,500	Fixo e ajustável	Ajustável	16- 80 16- 80 36- 85 36- 65 50- 65			
Disjuntorem	Caixa Moldada de Alta C	Capacidade ACW						
	100/160 101/161/250 400/630 800	20 a 160 16a 250 160 a 400 630 a 800	Fixoe a justáwe l	- Ajartivel	85-150 85-190 85-150 100			
DisjuntorAb	ertoABW							
	800/1600 2000/2500/3200 4000/5000 6300	320 a 1.600 800 a 3.200 1600 a 5.000 2.520 a 6.300	-	Ajustável	85 85 100 120			

Note: 1) M DWH em 220 V CA I cu = 20 kA.

ANEXO 15: (Especificações técnicas das turbina aeroderivadas LM6000 da *General electric*)

45-58 MW YCLE EFFICIENCY



CAPABILITY

Achieves various dispatch profiles with 3-minute synchronization to the grid



VERSATILITY

Operates from peaking to baseload with applications in combined cycle, simple cycle, industrial cogeneration, and district heating



SUSTAINABILITY

Reduces greenhouse gas emissions as part of the LM6000 battery Hybrid EGT offering

With over 40 million operating hours and more than 1,300 units shipped, GE's LM6000 aeroderivative gas turbine is a leader in the +40 MW space. The LM6000 offers greater than 99 percent start and operational reliability and 98 percent availability. Its 5-minute fast start allows operators to differentiate their dispatch capability while a simple two-spool design results in lower overall maintenance costs. Universal and modular packaging gives the LM6000 a smaller footprint and allows for faster installation and commissioning.

Simple cycle specifications (30 Hz and 60 Hz)	LH6000 PC	LM6000 PG	LM6000 PF	LMS000 PF
Neti output (HW)	45/50*	55/57*	44/45*	53/58*
Next haust rather (Bitsu/Krish), CARVI.	8.655	8,692	8,291	8.271
Net heat care (6.05/69/5, LHV)	9/327	9,170	8,737	8,726
Net afficiency (N. LIHS)	25.4%	39.2%	41.7%	41.3%
Rartsp Late OHW/minutel	50	56	50	50
Startup time baid rood invin.)	5	5	. %	. 5
GT min. turn down lead (%)	25%	25%	50%	30%
Combined cycle 1x1 specifics	blans			
Net output (HWV)	59/64"	73/76*	58.54*	30/77*
New York case (Broughtwh, LAN)	6.573	6.335	6,179	6,105
Next heat runs (6.3/6/65), \$1695	6,935	6,815	6,520	6441
Net efficiency (%, LHZ)	55.9%	12.2%	35.2%	55.9%
Ramp rate (HW//reinute)	50	50	58	1.0
Startup time traid intro (min.)	30	30	50	30
GT min. turn down load (%)	19%	19%	37%	37%
Combined cycle 2x1 specifics	tions			
Net suitput MWW	318/339	546/553*	113/129*	343/235*
Feet heat ratie (Bts/646h, 536V)	5,555	6.336	6,161	4.085
Net heat rane (LUKOV), LHW	6.916	6,876	6,500	6,420
Net efficiency (%, LHV)	52.7%	52,4%	55.4%	58.2%
Biging cate (HW/minute)	100	100	386	100
Startup time body iron't brin.)	30	30	30	30
GT min, turn down load (%)	19%	19%	19%	18%
LM 6000 additional specifical	Digital Control			
Heliability	99.3%		99.8%	59.3%
Australia (ing.	94.7%	98.7%	94.7%	98.7%
Start retiability	85.2%	99.1%	10.1%	99.1%
First operation hours.	18.716	106,000	2.196	30,000
Hist section fowers	29,000	25,000	25,000	25.D00
Overhaud hours	50.000	50,000	30,000	50,000
NOs remisaism (speni) titr 15% Cul-	26	25	35	35/0%
CO-barri (8.35%-03)	89/350**	94/350**	25/70**	25/25**
Package more SSA average!	85	85	.85	85.
Extravert temp ("F("C)	824/440	679/470	961/461	827/485
Exhaust mass flow (first	294.4	315.9	277	927
Calvavat mass flow Wa/st	529.0	143.3	325.6	139.4
Combustion	SAC	SAC	DLE	DLE
Legacymanie	LAHEDOD	LM6000	LHS000 DLE	LH6000 DL1

GEA34350 (09/2019)

gepower.com

LM6000-PC Fuel: natural gas Output: 43.3 MW 41.3% 8,571 Btu/kW-hr Efficiency: Heat rate: 9,043 kJ/kW-hr 29.1:1 Pressure ratio: Shaft speed: 3,627 rpm Exhaust flow**: Exhaust temperature**: 285 lb/s (129 kg/s) 803°F (428°C)

LM6000-PD/PF Fuel: natural gas 42.7 MW Output: 41.3% 8,227 Btu/kW-hr Efficiency: Heat rate: 8,675 kJ/kW-hr Pressure ratio: 29.3:1 Shaft speed: 3,627 rpm Exhaust flow**: 277 lb/s (126 kg/s) Exhaust temperature**: 843°F (451°C)

LM6000-PC SPRINT natural gas 50.6 MW 42.6% 8,485 Btu/kW-hr 8,952 kJ/kW-hr 31.3:1 3,627 rpm 299 lb/s (136 kg/s) 835°F (446°C)

LM6000-PD/PF SPRINT natural gas 47.5 MW 42.6% 8,198 Btu/kW-hr 8,649 kJ/kW-hr 31.1:1 3,627 rpm 277 lb/s (126 kg/s) 843°F (451°C)

SIGNE, All ratings are not plant, based on Go small based works conditions and base

^{© 3019} General Electric Company All rights reser

ANEXO 16: (tabela de secção dos condutores)

Tabela A16 – 16: Tabela de secção dos condutores

Secções nominais (mm²)					
Condutores de	Condutor de				
fase	protecção				
1,5	1,2				
2,5	2,5				
4	4				
6	6				
10	10				
16	10				
25	16				
35	16				
50	25				
70	35				
95	50				
120	70				
150	70				
185	95				
240	120				
300	150				
400	185				
500	240				
630	300				
800	400				
1000	500				

ANEXO 17: (TABELA DE FACTOR DE SIMULTANEIDADE)

Tabela A17 – 17: Tabela De Factor De Simultaneidade

CRITÉRIOS DE AVALIAÇÃO

Definida a estrutura da instalação, o cálculo da potência a contratar necessita do conhecimento de três tipos de coeficientes:

- Coeficientes de utilização (Ku)
- Coeficientes de simultaneidade (Ks)
- Coeficientes de evolução de cargas (Ke)

O coeficiente de utilização (Ku) caracteriza o regime de funcionamento de um receptor e traduz a relação entre a potência utilizada e a potência nominal instalada.

São estimados, para instalações industriais, da forma seguinte:

QUADRO A-1 - Coeficientes de utilização em instalações industriais

Utilização / Receptores	Coeficientes de utilização (Ku)
Instalações de iluminação	1
Instalações de aquecimento	1
Motores	0.3 - 0.75
Instalações de tomadas	Variável consoante a utilização (a)

(a) Na dúvida, aconselha-se a consideração do coeficiente 1.

De notar que estes coeficientes devem ser usados para cálculo da potência total previsível numa instalação ou num quadro eléctrico mas *não* no dimensionamento da aparelhagem e da canalização da alimentação de um dado receptor.

O coeficiente de simultaneidade (Ks) caracteriza o regime de utilização da instalação, o que implica o conhecimento detalhado da instalação e dos seus modos de exploração.

Estes coeficientes podem ser usados na determinação das correntes de serviço e na escolha das secções dos condutores e cabos e da aparelhagem.

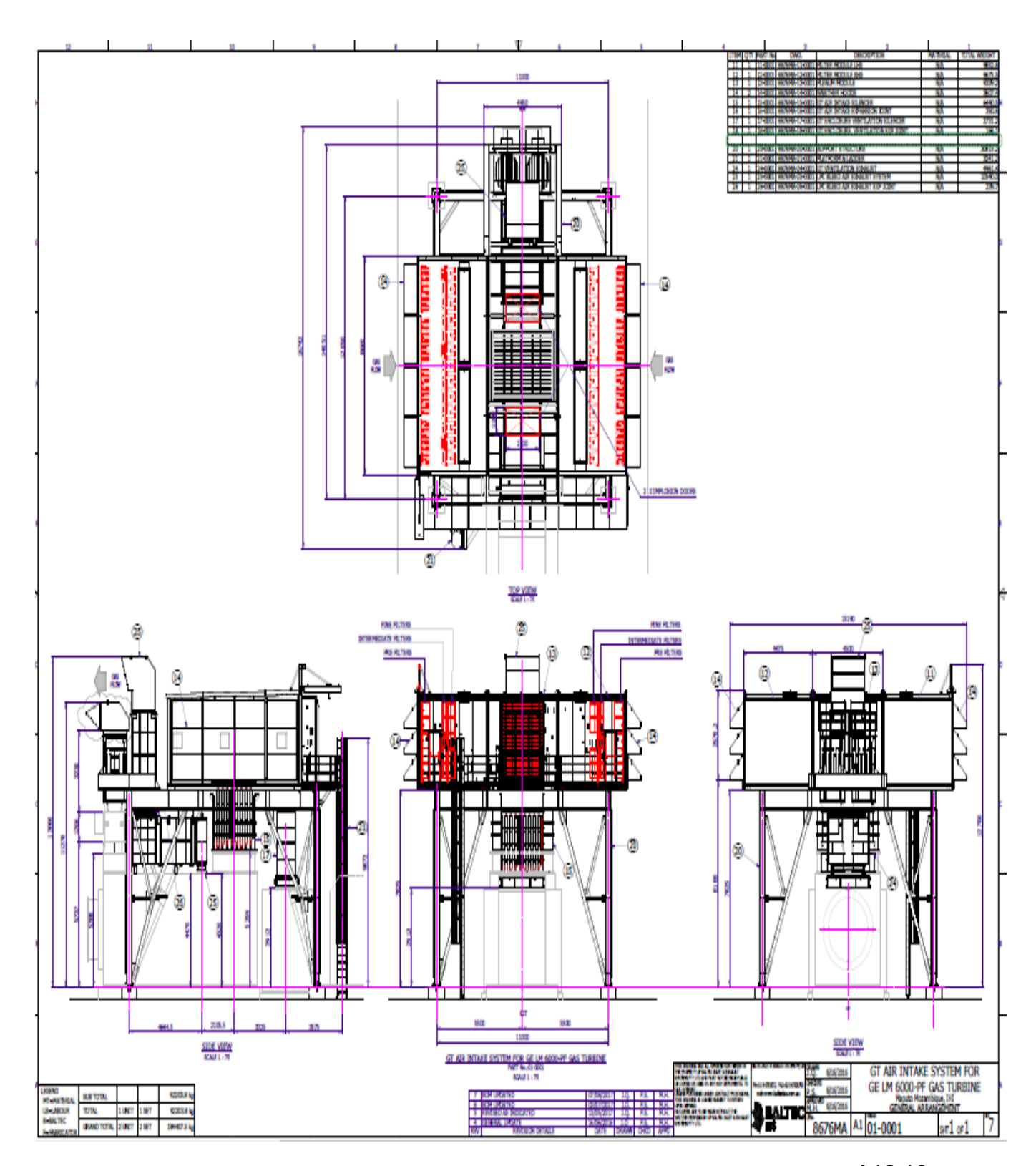
Além de outros valores para coeficientes, a definir face à especificidade das instalações, são apresentados os seguintes:

QUADRO A-2 - Coeficientes de simultaneidade para instalações em imóveis para locais residenciais ou de usos profissionais

(D.-L. n.º 740 / 74 de 26 / 12 e NFC 14 - 100)

N.º de utilizadores	Coeficientes de simultaneidade (Ks)			
Até 4	1 .			
5 - 9	0,78			
10 - 14	0,63			
15 – 19	0,53			
20 - 24	0.49			
25 – 29	0,46			
30 - 34	0,44			
35 – 39	0,42			
40 – 49	0,41			
50 e mais	0.4			

ANEXO 18: (Planta de piso – CTM)



ANEXO 19: ACTA DE ENCOTROS.

REFERÊNCIA DO TEMA:

TABELA A19.1 - 19: ACTA DE ENCOTROS.



FACULDADE DE ENGENHARIA

DEPARTAMENTO DE ENGENHARIA ELECTROTÉCNICA ACTA DE ENCONTROS

2025ELEPPL03

1. AGENDA:				harri-	
Aprese	ntação do term	io de atribu	iição de tema	3	
2. PRESENÇAS					
Supervisor	Ŋ	viestre, An	acleto Albino	, eng.º	
Co- Supervisor					
Estudante		Cossa, Ilíd	lio Alberto		
Outros					
3. RESUMO DO ENCO	ONTRO				
Neste encontro, o estudante a	presentou ao su	pervisor a p	roposta do ter	na para o F	Celatório de
Estágio Profissional, tendo o					
5. RECOMENDAÇÕES	•				
Redigir o TAT com c	lareza e objectiv	idade. Mell	ıorar a lógica c	io tema.	
·		_	****		
6. DATA DO PRÓXIMO EI	NCONTRO		20-03	3-2025	

Data: 17/02/2025

ANEXO 19: ACTA DE ENCOTROS.

REFERÊNCIA DO TEMA:

TABELA A19.2 - 20: ACTA DE ENCOTROS.



FACULDADE DE ENGENHARIA

DEPARTAMENTO DE ENGENHARIA ELECTROTÉCNICA <u>ACTA DE ENCONTROS</u>

2025ELEPPL03

		-244.18			<u></u>	
1. AGENDA:						
Apreser	ntação do termo	de atril	ouição de tema			
2. PRESENÇAS						
Supervisor Mestre, Anacleto Albino, eng.º						
Co- Supervisor			William .			
Estudante	C	ossa, Ilí	dio Alberto			
Outros					August	
3. RESUMO DO ENCO	•					
Neste encontro, o estudante a	apresentou ao su	pervisor	o Termo de Atrib	ouição do	Tema e o	
Plano de Actividades previsto	para a elaboraça	io do rei	atorio. O supervisi	or dea o s	cu parceer	
sugerindo ao estudante que fi	zesse algumas al	terações	no Termo de Atr	ibuição do	Tema do	
Relatório de Estágio Profissio	nai e no Piano de	Activida	aues.		- unit	
5. RECOMENDAÇÕES	I					
	Definir melhor o	s Object	ivos do trabalho)		
	Definit memor o	3 Object	too do trabaino			
6. DATA DO PRÓXIMO EN	CONTRO		24-03-2	.025		

17/02/2025

Data:

ANEXO 19: ACTA DE ENCOTROS.

REFERÊNCIA DO TEMA:

TABELA A19.3 - 21: ACTA DE ENCOTROS.



FACULDADE DE ENGENHARIA

DEPARTAMENTO DE ENGENHARIA ELECTROTÉCNICA <u>ACTA DE ENCONTROS</u>

2025ELEPPL03

1. AGENDA:			.	<u> </u>	
Apresen	tação do ter	mo de atrib	ouição de tema		
2. PRESENÇAS					
Supervisor		Mestre, A	nacleto Albino,	eng.º	
Co- Supervisor					
Estudante		Cossa, II	ídio Alberto		
Outros					
3. RESUMO DO ENCO	NTRO				
	Conside	erações fina	ais		
5. RECOMENDAÇÕES					
Submissão do TAT.	Mar.				
6. DATA DO PRÓXIMO EN	CONTRO		10-05-2	025	
U. DATA DOT NOMINO EN	CONTINU	i	10 00 2	<u> </u>	

17/02/2025

Data:

ANEXO 20: RELATORIO DE PROGRESSO.

TABELA A20 - 22: RELATORIO DE PROGRESSO.



FACULDADE DE ENGENHARIA

DEPARTAMENTO DE ENGENHARIA ELECTROTÉCNICA RELATÓRIO DE PROGRESSO

REFERÊNCIA DO TEMA	2025ELEPPL03	Data	17/02/2025
		<u> </u>	

ACTIVIDA	DATA	ESTÁGI	OBSERVAÇÕES	RÚBRICA
DE		O (%)		
1	17-03-2025	20	Melhorar a formulação do tema	***************************************
	21-03-2025	60	Melhorar os objectivos específicos	
	24-03-2025	100	Melhorar a formulação do problema e clarificar a justificativa	
2	28-04-2025	30	Aumentar os conceitos, colocar as imagens que ilustram a realidade	
3	29-05-2025	20	Melhorar a estrutura e organização do trabalho	
	05-06-2025	100	Organizar os anexos, organizar a paginação do trabalho e dos anexos	

ANEXO 21: GUIÃO DE AVALIAÇÃO DO RELATÓRIO ESCRITO.

TABELA A21 - 23: GUIÃO DE AVALIAÇÃO DO RELATÓRIO ESCRITO.



FACULDADE DE ENGENHARIA DEPARTAMENTO DE ENGENHARIA ELECTROTÉCNICA F1-GUIA DE AVALIAÇÃO DO RELATÓRIO ESCRITO

Nome da estudante: <u>Ilídio Alberto Cossa</u> Referência do tema: 2025ELEPPL 03

Data: 17/02/2025

1. Resumo										
1.1.Apresentação dos pontos chaves no resumo					1	2	3		4	5
clareza, organização, correlação com o apresentado)					-					
Secção 1 subtotal (max: 5)					<u> </u>					
2. Organização (estrutura) e explanação			*****		4444	-				
2.1. Objectivos	1	2	3	4	5			T		1
2.2. Introdução, antecedentes e pesquisa bibliográfica	 i	2	3	4	5	6	7	8	9	10
2.3. Metodologias	1	2	3	4	5	6	7	8	9	1.0
2.4. Resultados, sua análise e discussão	1	2	3	4	5	6	7	8	9	10
2.5. Conclusões e aplicação dos resultados	1	2	3	4	5	6	7	8	9	10
(recomendações)		_								
Secção 2 subtotal (max: 45)										/
						·				
3. Argumentação										
3. 1.Criatividade e originalidade	1	2	3	4	5			<u> </u>		
3.2.Rigor	1	2	3	4	5	<u> </u>				_
3.3.Análise crítica, evidência e lógica	1	2	3	4	5	6	7	8	9	10
3.4.Relação objectivos/ métodos/ resultados/conclusões	1	2	3	4	5					
3.5.Relevância	1	2.	3	4	5	<u> </u>				
Secção 3 subtotal (max: 30)										
4. Apresentação e estilo da escrita										· · · · · ·
4.1. Legibilidade e organização					1	2	3		4	5
4.2. Ilustração e qualidade das figuras e tabelas					1	2	-3		4	5
4.3. Estilo da escrita (fluência do texto, uso da língua e gramática)				1	2	3		4	5	
4.4.Fontes bibliográficas (citação correta, referências, etc.)					1	2	3		4	5
Secção 4 subtotal (max: 20)					<u> </u>					
A-7/								_		
Total de pontos (max: 100) Nota	a (=T	otal	*0,2)							
Nota: Quando exista a componente gráfica (desenhos té	-		_	. acir	ب کے حص	multin	Jicad	! 3.00	÷ΛΩ	

Maputo, ____ de Junho de 2025

ANEXO 22: GUIÃO DE AVALIAÇÃO DA APRESENTAÇÃO ORAL E DEFESA.

TABELA A22 - 24 GUIÃO DE AVALIAÇÃO DA APRESENTAÇÃO ORAL E DEFESA.



FACULDADE DE ENGENHARIA

DEPARTAMENTO DE ENGENHARIA ELECTROTÉCNICA F2 – GUIA DE AVALIAÇÃO DA APRESENTAÇÃO ORAL E DEFESA

Nome da estudante: Ilídio Alberto Cossa Referência do tema: 2025ELEPPL03

Data: 17/02/2025

Título do tema: Projecto de arranque da central termoelétrica de Maputo em modo

1. Introdução										
1.1.Apresentação dos pontos chaves na introdução (Contexto e importância do trabalho)			3	4	5	6	7	8	9	10
Secção 1 subtotal (max: 10)										
2. Organização e explanação						· · · · · · · · · · · · · · · · · · ·				
2.1. Objectivos	1	2	3							
2.3. Metodologia	1	2	3	4						
2.4. Resultados, sua análise e discussão	1	2	3	4	5	6	7	8	9	10
2.5. Conclusões e aplicação dos resultados	1	2	3	4	5	6	7	8		
(recomendações)								<u> </u>		<u></u>
Secção 2 subtotal (max: 25)			-							
3. Estilo da apresentação	т		T	1 .	Γ_	1	1	1	T	1
3. 1. Uso efectivo do tempo	1	2	3	4	5	<u> </u>		ļ	-	-
3.2. Clareza, tom, vivacidade e entusiasmo	1	2.	3	4	5			<u> </u>		<u> </u>
3.3. Uso e qualidade dos audiovisuais	1	2	3	4	5					<u> </u>
Secção 3 subtotal (max: 15)										
4. Defesa	-1	1	1 .	1	Τ	1 =	Т.	Т.	1	
4.1. Exactidão nas respostas	1	2	3	4	5	6	7	8	9	10
4.2. Domínio dos conceitos		2	3	4	5_	6	7	8	9	10
4.3. Confiança e domínio do trabalho realizado		2	3	4	5	6	7	8	9	10
4.4. Domínio do significado e aplicação dos resultados		2	3	4	5	6	7	8	9	10
4.5. Segurança nas intervenções	1	2	3	4	5	6	7	8	9	10
Secção 3 subtotal (max: 50)	i									

Total de pontos (max: 100)	Nota (=Total*0,2)

ANEXO 23: FICHA DE AVALIAÇÃO GLOBAL.

TABELA A23 - 25: FICHA DE AVALIAÇÃO GLOBAL.



FACULDADE DE ENGENHARIA

DEPARTAMENTO DE ENGENHARIA ELECTROTÉCNICA F3 - FICHA DE AVALIAÇÃO GLOBAL

Nome do estudante: <u>Ilídio Alberto Cossa</u> Referência do tema: <u>2025ELEPPL03</u>

Data: 17/02/2025

Título do tema: Projecto de arranque da central termoelétrica de Maputo em modo blackstart.

Membros do júri	Assinatura	
Membro 1 (O presidente)		
Membro 2		
Membro 3	and	

AVALIADOR	NOTA OBTIDA	PESO (%)
Relatório escrito (F1)	N1=	A= 60
Apresentação e defesa do trabalho (F2)	N2=	B= 40

		٦
	CLASSIFICAÇÃO FINAL =(N1*A+N2*B) /100	
1		

Maputo, ____ de Junho de 2025



DIVISÃO DE PRODUÇÃO SUL

Ao:

Senhor Ilídio Alberto Cossa

Nossa Referência:

Vossa Referência:

Data:

Contacto:

60 /DPSU/2025

14.03.2025

Eugénio Sidumo

No. de Páginas: 1+#

eugenio.sidumo@edm.co.mz Telefone: 20300132

Assunto: Resposta ao Pedido de Estágio Profissional

Exmo. Senhor,

Em resposta ao seu pedido de estágio profissional, para área de **Engenharia Electrotécnica**, vimos informar que estamos disponíveis para o seu acolhimento, podendo para o efeito apresentar-se a partir do dia 17.03.2025, na Divisão de Produção Sul, na Central Termoeléctrica de Maputo (CTM), sita no Bairro Luís Cabral, Av. Da Namaacha, KM 1.5, munido dos seguintes equipamentos de segurança:

- 1. Fato macaco de 2 peças cor azul, com reflectores;
- 2. Par de botas:
- 3. Par de Luvas de Cabedal:
- Par de luvas Mecânicas:
- Capacete branco;
- Oculos de Protecção;
- 7. Abafadores de som.

Salientamos que <u>o estágio será de 3 meses não remunerados, sendo obrigatorio possuir segure provisório contra acidentes de trabalho.</u>

UNIVERSIDADE
E D U A R D O
AMONDLANE
FACULDADE DE ENGENHARIA
SECRETARIA GERAL

Atenciosamente,

Firmino Licumba Director ELECTRICIDADE DE LICHAPARATE, EF

ppsu

página 1(1)





DIVISÃO DE PRODUÇÃO SUL

À
UEM. UNIVERSIDADE EDUARDO MONDLANE
FACULDADE DE ENGENHARIA
MAPUTO

Nossa Referência:

Vossa Referência:

Data: Co

Contacto:

130/DPSU/2025

06-27-2025

Ruben Manthenga

No. de Páginas: 1+0

Assunto: Carta de Referência a favor do Sr. Ilídio Alberto Cossa

A Electricidade de Moçambique E.P. – DIVISÃO DE PRODUÇÃO SUL, declara que o Senhor Ilídio Alberto Cossa estagiou nesta Empresa, por um período de cerca de 4 meses, (de 14/03/2025 à 26/06/2025), e esteve afecto no Departamento de Manutenção Eléctrica na Central Termoeléctrica de Maputo, onde desenvolveu as seguintes actividades, com acompanhamento do pessoal interno:

- Participou em actividades de manutenção preventiva, correctiva e predectiva de equipamentos;
- Elaborou relatórios técnicos das actividades de manutenção realizadas na planta de produção;
- Praticou e promoveu a cultura de higiene e segurança no trabalho.

Durante o tempo que esteve nesta empresa, demonstrou muito empenho no exercício das suas actividades, espírito de colaboração e vontade de aprender, disponibilidade para qualquer missão a que era chamado a cumprir.

Por ser verdade e a pedido do interessado, passou-se o presente documento, que vai assinado e autenticado com carimbo a tinta de óleo em uso nesta Unidade Orgânica.

Atenciosamente,

Firmino Licumba

Director

ELECTRICIDADE DE MOÇAMBIQUE, EP

DPSI

página 1(1)





FACULDADE DE ENGENHARIA

DEPARTAMENTO DE ENGENHARIA ELECTROTÉCNICA

Curso de Licenciatura em Engenharia Eléctrica

TERMO DE ATRIBUIÇÃO DE TEMA DE ESTÁGIO PROFISSIONAL

REFERÊNCIA DO TEMA: 2025ELEPPL 03 Data: 17.02.2025

1. TÍTULO DO TEMA

PROJECTO DE ARRANQUE DA CENTRAL TERMOELÉTRICA DE MAPUTO EM MODO *BLACK START.*

2. DESCRIÇÃO SUMÁRIA DO TRABALHO A DESENVOLVER

2.1 Contextualização.

A EDM – Electricidade de Moçambique, é a empresa, concessionaria pública distribuidora de energia eléctrica em todo o país. Fundada em 1977, distribui actualmente cerca de 980MW no território nacional. A Central termoelétrica de Maputo (CTM) é uma central de ciclo combinado e parte integrante do parque produtor de energia da EDM, localizada no recinto da antiga Central térmica de Maputo que era movida a carvão e actualmente extinta.

A Central termoelétrica de ciclo combinado de Maputo iniciou com a operação comercial em agosto de 2018, tendo sido inaugurada no mesmo mês. A implantação da Central enquadra-se no plano estratégico da EDM que visa o acesso universal da energia eléctrica até 2030.

A energia é produzida com recurso ao gás natural existente no país, sendo que ela tem a capacidade de geração de 106MW. A Central é composta pelos seguintes equipamentos



principais: Dois geradores accionados por duas turbinas a gás; duas caldeiras de recuperação do calor dos gases de escape; um gerador accionado por uma turbina a vapor, um condensador refrigerado a ar; dois transformadores de 90MVA e 60MVA, e diversos equipamentos auxiliares.

As turbinas a gás são do tipo LM6000PF, com injectores de baixa emissão desenhados para redução de óxidos de nitrogénio.

A central dispõe de um grupo gerador de emergência com capacidade de gerar 1MW, que alimenta parte dos serviços auxiliares em caso de ausência da rede púbica. Importa referir que este grupo gerador de emergência apenas alimenta um grupo de cargas pré definidas a quando da concepção da central, sendo que actualmente com a evolução de carga ele encontra-se subdimensionado. A central opera em modo controle de potência sendo que em caso de falta da rede pública ela não dispõe de fonte auxiliar para o seu arranque em *blackstart* (Capacidade da central de saír de uma condição de paragem total, para uma condição de operação, independentemente da ausência da rede pública como fonte de energia externa para alimentar e servir de tensão de referencia para o arranque). Actualmente foi recondicionado a turbina a gás nr.3 (GTG.3) com capacidade nominal de geração de 22.6MW que se pretende que sirva de grupo gerador de emergência de toda central para mitigar a falta do arranque em *blackstart da* central e resolver definitivamente esta não conformidade.

Este trabalho tem como objetivo criar condições de arranque da Central no modo blackstart mesmo com a ausência da rede pública como fonte de serviços auxiliar e tensão de referência, condições básicas necessárias para o arranque, usando a turbina GTG.3.



2.2 Formulação do problema

Como foi dito inicialmente, A central dispõe de um grupo gerador de emergência com capacidade de gerar 1MW, que alimenta parte dos serviços auxiliares em caso de ausência da rede pública, mas que não dispõe de potência suficiente para alimentar todos os serviços auxiliares e nem dispõe de potencia suficiente para servir de fonte auxiliar durante o arranque da central em modo blackstart, quando a rede pública não estiver disponível. Em síntese quando a rede pública não estiver disponível a central não tem como arrancar devido a falta de fonte auxiliar com capacidade de potência para tal. Assim pretende-se com este trabalho desenhar um modo de arranque da central em rede isolada ou simplesmente blackstart com recurso a turbina a gás GTG.3 sendo que esta fonte fazia parte da antiga central térmica a carvão e recentemente foi recondicionada faltando criar-se condições de aplicá-lo como fonte auxiliar no novo sistema eléctrico de potência da central.

Para a resolução do problema coloca-se a seguinte questão:

Como arrancar a Central em modo blackstart, sempre que a rede pública não estiver disponível?



2.3 Justificativa

Este projecto justifica-se dado que a sua concretização é de maior ganho não só para a Central termoelétrica de ciclo combinado de Maputo, mas também para todos os clientes da EDM, utentes da energia eléctrica distribuída pela rede publica na zona sul do país, que terão melhorias no que concerne a continuidade de fornecimento de energia electrica, reduzindo o tempo de espera durante o uso destes serviços, o que incrementa de certa forma a produtividade dos utentes. Por outro lado incrementa o poder financeiro da concessionária, visto que vai reduzir o tempo da indisponibilidade da central. O projecto vai trazer também melhorias na alimentação dos demais serviços auxiliares que anteriormente não eram abrangidos pelo grupo gerador de emergência porque vai ser melhorada a capacidade em termos de potência disponível.

Concretizado este projecto e ensaiado com sucesso, vai ser um maior ganho para a EDM e o mesmo pode ser aplicado as demais áreas de serviço com problemas similares e até nas outras empresas.

2.4 Objectivos

2.4.1 Objetivo geral

Projetar o arranque da central termoelétrica de Maputo em modo *blackstart* sempre que a rede pública não estiver disponível.

2.4.2 Objectivos Específicos

- Proceder o levantamento das cargas de todos os serviços auxiliares
- Esquematizar o novo circuito de potência;
- Dimensionar os cabos de potência.
- Selecionar os elementos de sincronização.
- Definir a aplicação do antigo gerador.
- Propor soluções técnicas para os problemas levantados baseados em novas tecnologias possíveis de aplicação.



2.5 Metodologia

Para a efetivação do presente projecto, a pesquisa aplicada foi dividida em duas partes a destacar: pesquisa bibliográfica e levantamento de dados no local.

2.5.1 Pesquisa Bibliográfica

Segundo Martins e Pinto (2001, p.410) a pesquisa bibliográfica procura explicar um problema e propor soluções a partir de referências teóricas publicadas em documentos e contribuições científicas.

Segundo LIMA, a pesquisa bibliográfica, trata-se do levantamento de toda bibliografia já publicada em forma de livros, revistas, publicações em imprensa escrita. Sua finalidade é colocar o pesquisador em contacto directo com tudo aquilo que foi escrito sobre determinado assunto, com o objectivo de permitir aos pesquisadores, reforço paralelo na análise de suas pesquisas ou manipulação de suas informações

2.5.2 Pesquisa de Campo

Sendo que a pesquisa vai consistir em projectar o arranque da Central termoeléctrica de Maputo em *blackstart* onde vai ser realizado um levantamento das cargas e componentes do sistema em todo circuito eléctrico da central, consultas aos técnicos locais e esquematização do circuito de potência.

Observação directa

Este método de colecta de dados baseia-se na actuação de observadores treinados para obter determinados tipos de informação sobre resultados, processos, impactos etc. Requer um sistema de pontuação muito bem preparado e definido, treinamento adequado dos observadores, supervisão durante a aplicação e procedimentos de verificação periódica para determinar a qualidade das medidas realizadas (BARBOSA, 2008) citado por (CONSTANTINO, 2016). A observação directa baseou-se em forma de visualização dos aspectos importantes para a pesquisa, como, uso de normas que regem o funcionamento dos grupos geradores e consulta aos



manuais dos fabricantes e recolha de dados.

Entrevista

A entrevista é composta por perguntas fechadas e abertas, é importante por ser eficiente, permitindo obter dados de uma forma profunda, não exigindo que o entrevistado saiba ler nem escrever e é muito flexível possibilitando o entrevistador esclarecer perguntas e sondar (MARCONI E LAKATOS, 2006). Este método será usado para obter informações junto aos técnicos da Central termoelétrica de Maputo (CTM)

2.6 Delimitação do tema

O objetivo deste trabalho é de Projetar o arranque da Central termoelétrica de Maputo em modo *blackstart* Portanto, devido a ampla extensão deste tema, o estudo vai estar focado na esquematização do novo circuito de arranque, e no processo de sincronização das fontes.

3. LOCAL DE REALIZAÇÃO

EDM - Central Termoelétrica de ciclo combinado de Maputo (CTM)

4. SUPERVISORES

	Nome	Assinatura
Da UEM	Mestre Anacleto Albino, Engº.	ANACLOTO IX ALBIANDA
Da EDM-CTM	Engº Ruben Manthenga.	Ruben Mantherson
**-		

Maputo, ao 03 de Abril de 2025

7



FACULDADE DE ENGENHARIA

DEPARTAMENTO DE ENGENHARIA ELECTROTÉCNICA

Curso de Licenciatura em Engenharia Eléctrica

PLANO DE ACTIVIDADES DE ESTÁGIO PROFISSIONAL

REFERÊNCIA DO TEMA:	2025ELEPPL 03		Data:	17/02/2025
•		•		

TÍTULO DO TEMA

PROJECTO DE ARRANQUE DA CENTRAL TERMOELÉTRICA DE MAPUTO EM MODO *BLACK START.*

#	Actividade	Março	Abr.	Maio.	Junho.	OBS
1	Escolha e pesquisa do tema					
2	Levantamento bibliográfico	The response of the seconds of				
3	Escolha de instrumentos de recolha					
	de dados					
4	Pesquisa de campo					·
5	Redação da revisão bibliográfica					
6	Análise e dados					
7	Discussão de resultados					
8	Redação da análise de dados e					
	discussão dos resultados					
9	Redação das conclusões e referências					
	bibliográficas				1	
10	Revisão e redação final					
11	Submissão do relatório final					



Observações:

SUPERVISORES

		Nome	Assinatura
Da	UEM	Mestre Anacleto Albino, Engº.	AND, Cloto fonto ALBINO
Da	EDM	Engº Ruben Manthenga.	Ruben Wanthenga

Maputo, 03 de Abril de 2025

O estudante

(Cossa, Ilídio Alberto)



O estudante

(Cossa, Ilídio Alberto)

O Director do Curso

(Engº. Zefanias Mabote)

O Chefe da Comissão Cientifica

(Mestre, José Nelson Guambe, Engº.)

TERMO DE ENTREGA DO RELATÓRIO DE ESTÁGIO PROFISSIONAL

Declaro que o estudante ILIDIO ALBERTO COSSA entregou no dia o con como de la compacto de Relatório de Estágio Profissional com referência 2025ELEPPL 03, intitulado Projecto de arranque da Central Termoelétrica de Maputo-CTM em modo blackstart.

Maputo, aos O de Junho de 2025

A Chefe da Secretaria

Dra Arlete Chiconela) ois color

DECLARAÇÃO DE ORIGINALIDADE

Eu, Ilídio Alberto Cossa, estudante do curso de Licenciatura em Engenharia Eléctrica na Faculdade de Engenharia, da Universidade Eduardo Mondlane (UEM), declaro por minha honra, que o presente trabalho nunca foi apresentado na sua essência para obtenção de qualquer grau e é resultado da minha própria investigação, estando devidamente indicado no texto e nas referências bibliográficas as fontes que utilizei.

Maputo, Junho de 2025

(Ilídio Alberto Cossa)